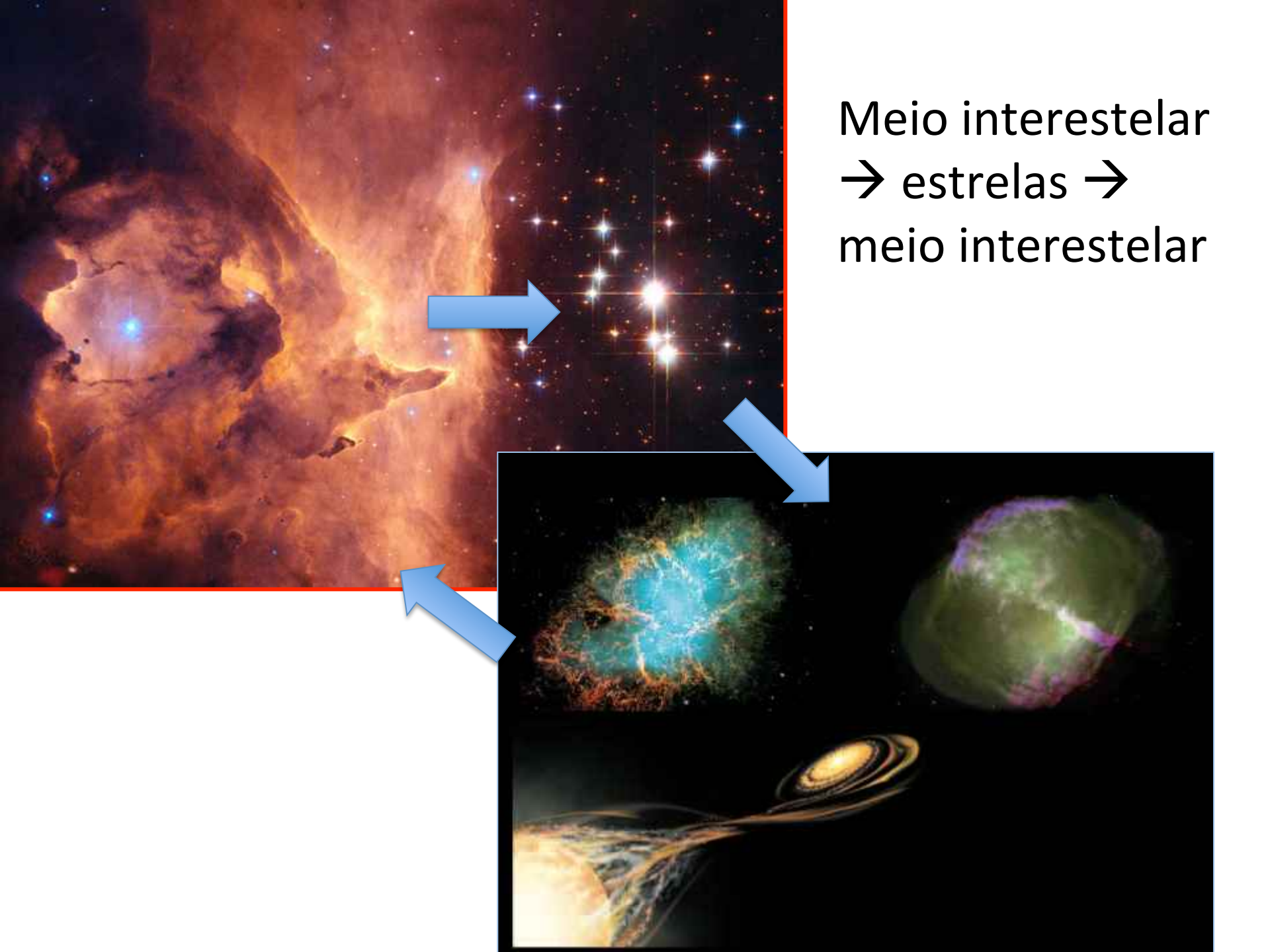
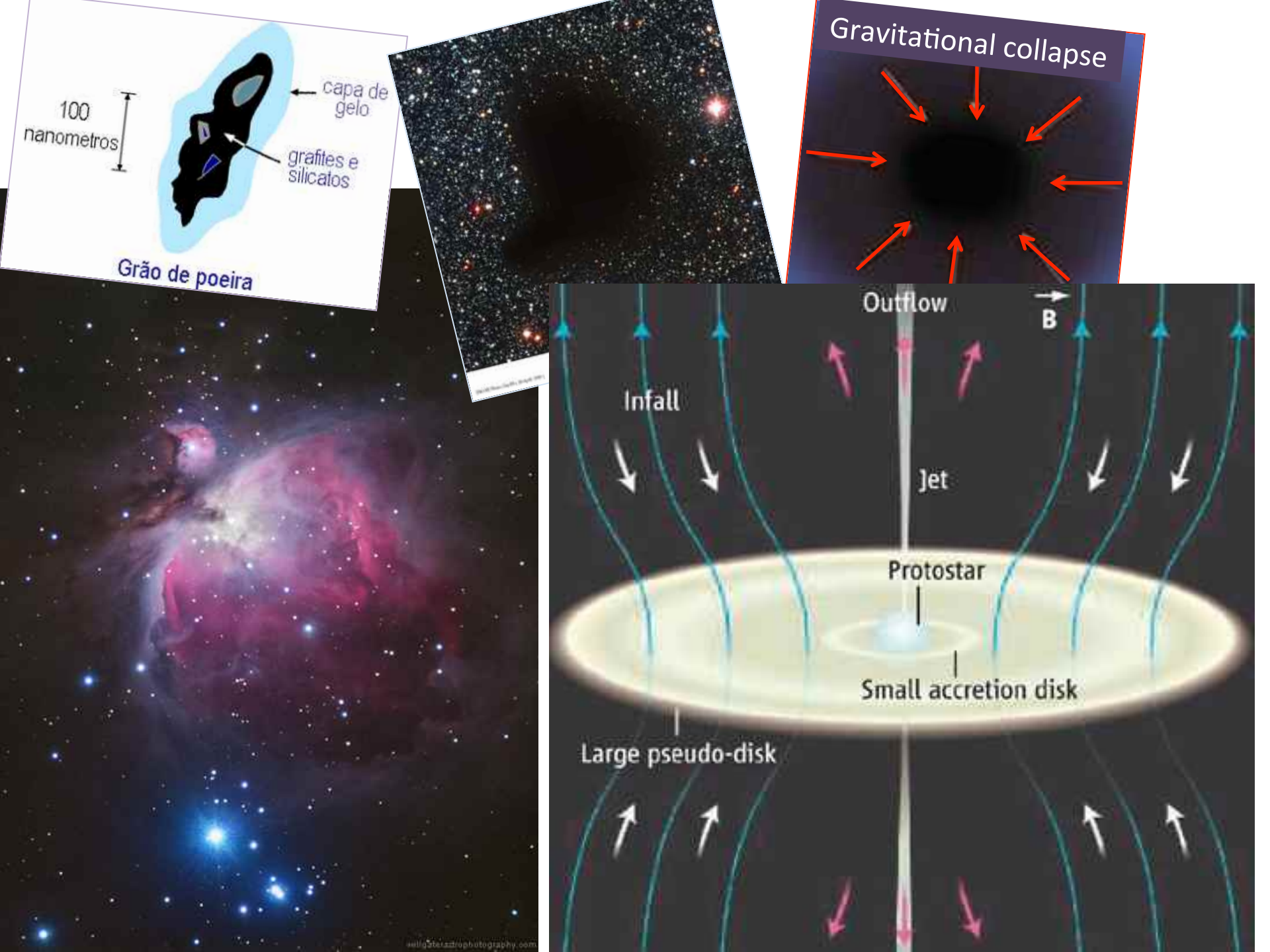
## 12 - O Meio Interestelar (ISM) e a Formação de Estrelas

12.1 Gás e poeira interestelar

12.2 Formação de protoestrelas

Jorge Meléndez





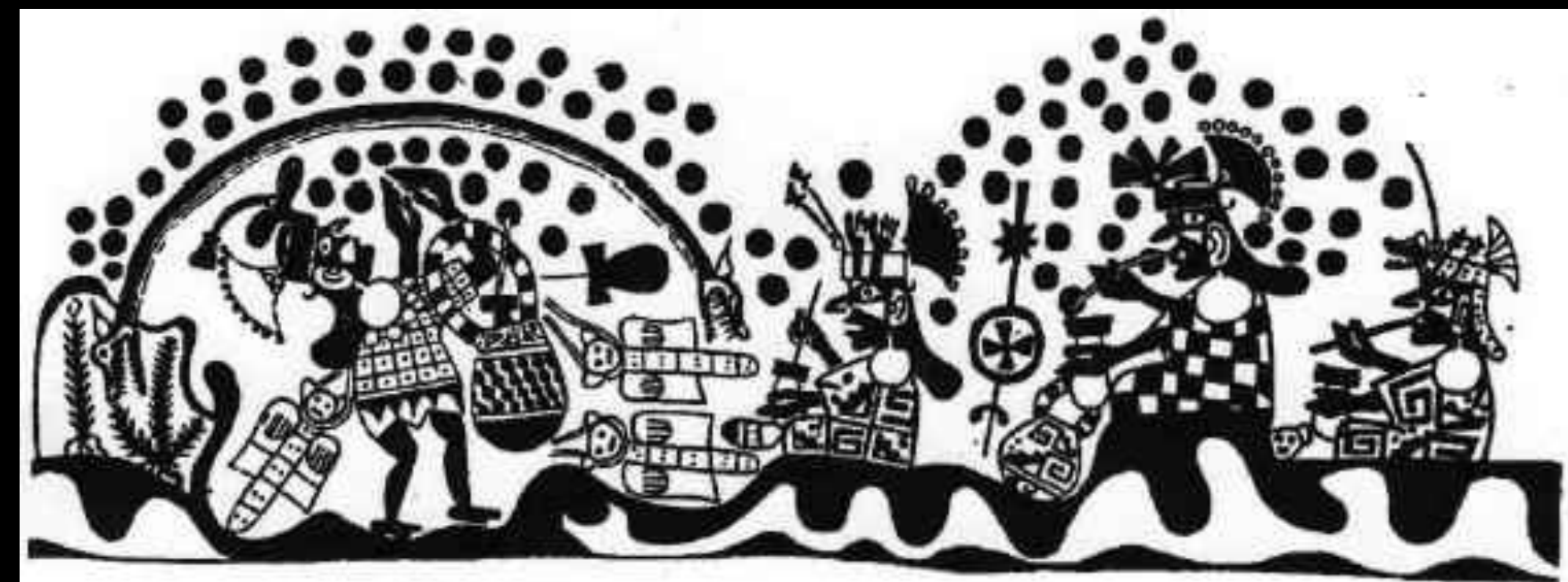
## Constelações brilhantes



Civilizações europeias reconheceram apenas constelações brilhantes (estrelas)



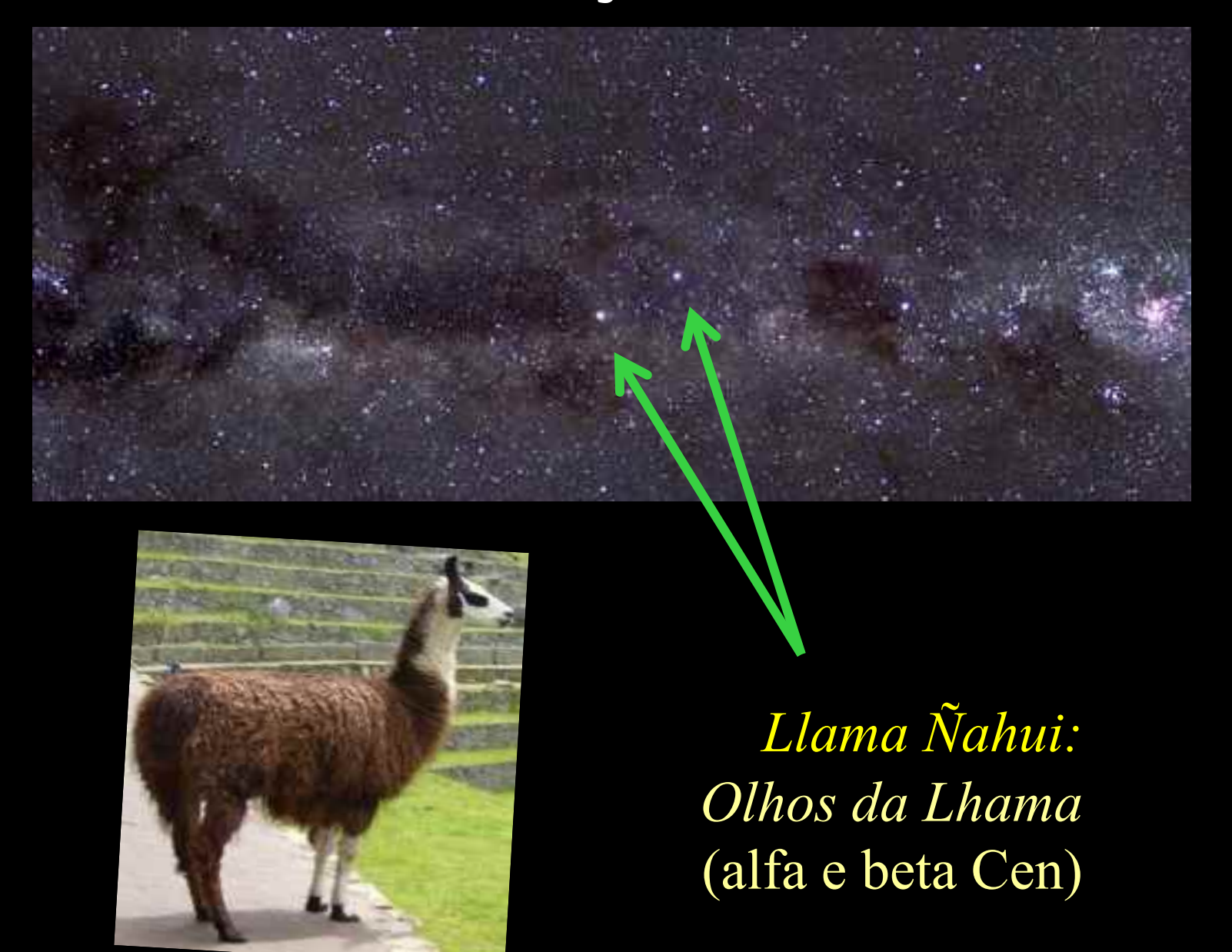
Civilizações andinas (2000a.C. – 1542) identificaram constelações escuras



Civilizações andinas observaram em detalhe a Via Láctea (= mayu, ou rio celestial)

Cronista espanhol: "No hablo sólo de las partes lúcidas y resplandecientes ... sino digo esto por otras partes oscuras y negras que hay en el cielo ... las cuales jamás me acuerdo de haber echado de ver en el cielo cuando estaba en Europa, y acá, en este otro hemisferio, las he visto muy manifiestas "José Acosta [1590]

## Yacana: Constelação escura da Lhama





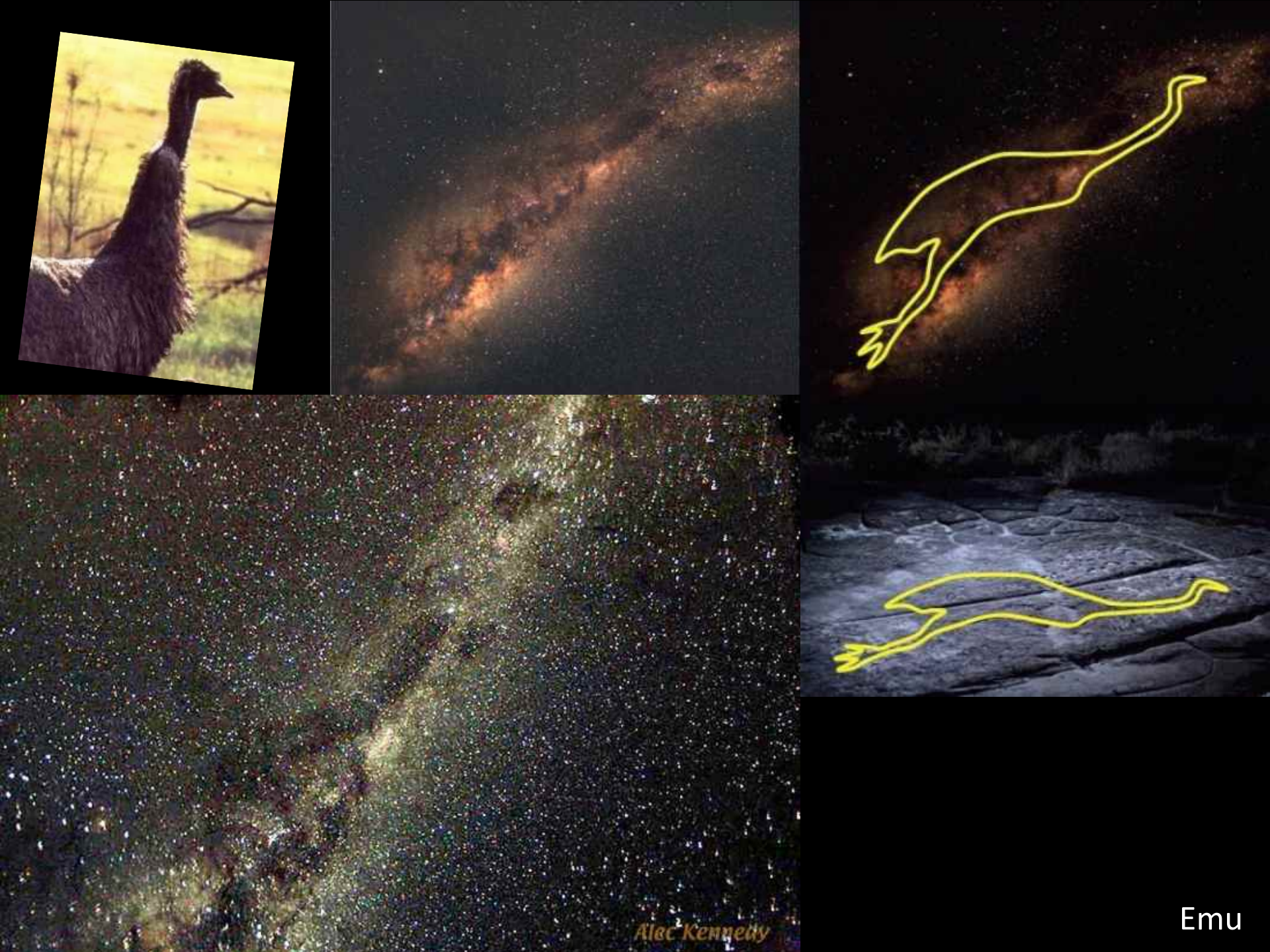
Constelações Incas (Lhama) em Paranal @ESO 3/8/2018

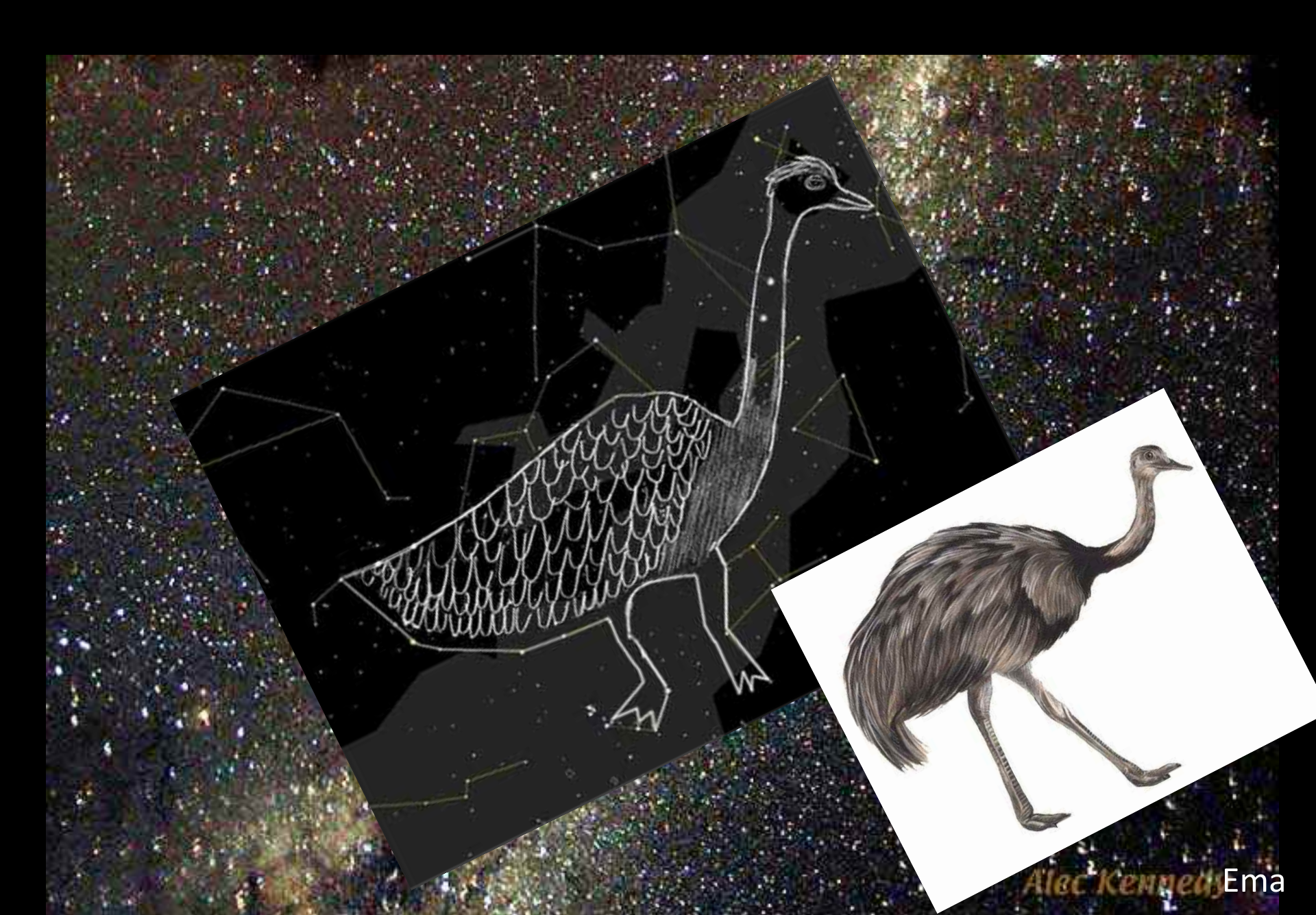
Jorge Melendez



Constelações Incas (Lhama) em Paranal @ESO 3/8/2018

Jorge Melendez





## Efeitos da poeira: extinção

Via Láctea no óptico

A atenuação da luz das estrelas pela poeira interestelar chama-se extinção interestelar

B68 (the black cloud) © ESO

## Extinção Interestelar $A_{\lambda}$



$$A_{\lambda} = m_{\lambda} - m_{\lambda,0}$$

 $A_{\lambda}$ : absorção em magnitudes  $m_{\lambda}$ : magnitude observada  $m_{\lambda,0}$ : magnitude intrínseca (sem extinção interestelar)

$$m_{\lambda} = m_{\lambda,0} + A_{\lambda}$$

$$m_{\lambda} = M_{\lambda} + 5 \log_{10} d - 5 + A_{\lambda}$$

 $M_{\lambda}$ : magnitude absoluta; d: distância em pc

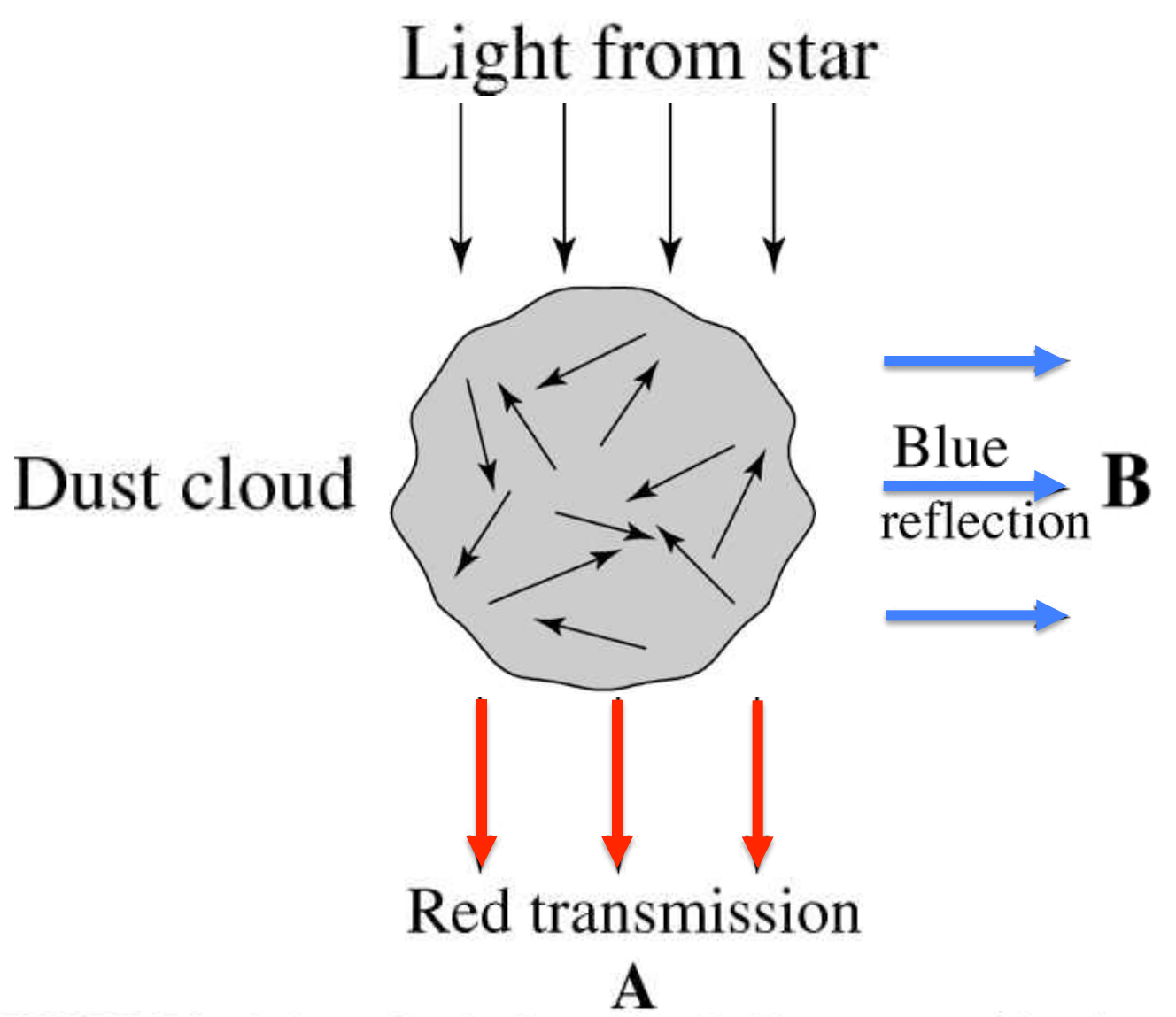


FIGURE 12.2 An interstellar cloud containing significant amounts of dust along with the gas (a dust cloud) can both scatter and absorb light that passes through it. The amount of scattering and absorption depends on the number density of dust grains, the wavelength of the light, and the thickness of the cloud. Since shorter wavelengths are affected more significantly than longer ones, a star lying behind the cloud appears reddened to observer A. Observer B sees the scattered shorter wavelengths as a blue reflection nebula.

A absorção interestelar  $A_{\lambda}$  deve estar relacionada à profundidade óptica  $\tau_{\lambda}$ :

$$I_{\lambda}/I_{\lambda,0}=e^{-\tau_{\lambda}}$$

 $I_{\lambda,0}$ : intensidade sem absorção interestelar

Lembrando: 
$$m_1 - m_2 = -2.5 \log_{10} \left( \frac{F_1}{F_2} \right)$$

$$A_{\lambda} = m_{\lambda} - m_{\lambda,0} = -2.5 \log_{10} (e^{-\tau_{\lambda}})$$
  
=  $2.5\tau_{\lambda} \log_{10} e = 1.086\tau_{\lambda}$ 

$$A_{\lambda} = 1.086 \tau_{\lambda}$$

 $A_{\lambda}=1.086 au_{\lambda}$  Extinção  $A_{\lambda} \sim au_{\lambda}$  na linha de visada

Lembrando (Cap. 9):

$$\tau_{\lambda} = \int_0^s \kappa_{\lambda} \rho \, ds$$

$$\kappa_{\lambda}\rho = n\sigma_{\lambda}$$

$$au_{\lambda} = \int_0^s n_d(s') \, \sigma_{\lambda} \, ds'$$
  $\sigma_{\lambda}(s')$ : densidade numérica dos grãos de poeira espalhadores  $\sigma_{\lambda}$ : seção de choque de espalhamento

Considerando  $\sigma$  constante:

$$\tau_{\lambda} = \sigma_{\lambda} \int_{0}^{s} n_{d}(s') \, ds' = \sigma_{\lambda} N_{d}$$

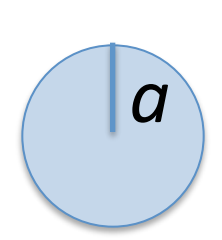
N<sub>d</sub> é a densidade colunar de grãos de poeira, que é o número de partículas de poeira em um cilindro de seção de choque de 1 m<sup>2</sup> indo do observador até a estrela -> a extinção depende da quantidade de poeira interestelar que atravessa a luz





### Teoria de Gustav Mie, 1908

Grão de poeira de raio a



$$\sigma_g = \pi a^2$$

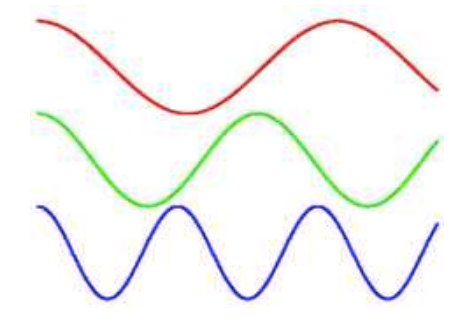
 $\sigma_g = \pi a^2$  seção de choque geométrica



Definimos o Coeficiente de extinção (sem dimensão):

$$Q_{\lambda} \equiv rac{\sigma_{\lambda}}{\sigma_{g}}$$

 $Q_{\lambda}$  depende da composição dos grãos de poeira



Se  $\lambda$  é da ordem de grandeza de a:

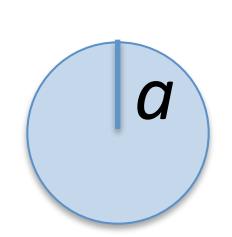
$$Q_{\lambda} \sim a/\lambda$$

$$Q_{\lambda} \sim a/\lambda = \sigma_{\lambda}/\sigma_{g} = \sigma_{\lambda}/\pi a^{2} \rightarrow \sigma_{\lambda} \sim \pi a^{3}/\lambda$$

$$\sigma_{\lambda} \propto \frac{a^3}{\lambda} \qquad (\lambda \gtrsim a)$$

## Teoria de Gustav Mie, 1908

Grão de poeira de raio a



$$\sigma_g = \pi a^2$$

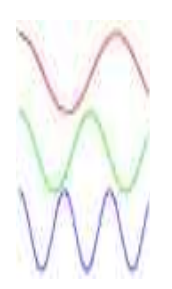
 $\sigma_g = \pi a^2$  seção de choque geométrica



Definimos o Coeficiente de extinção (sem dimensão):

$$Q_{\lambda} \equiv rac{\sigma_{\lambda}}{\sigma_{g}}$$

 $Q_{\lambda}$  depende da composição dos grãos de poeira

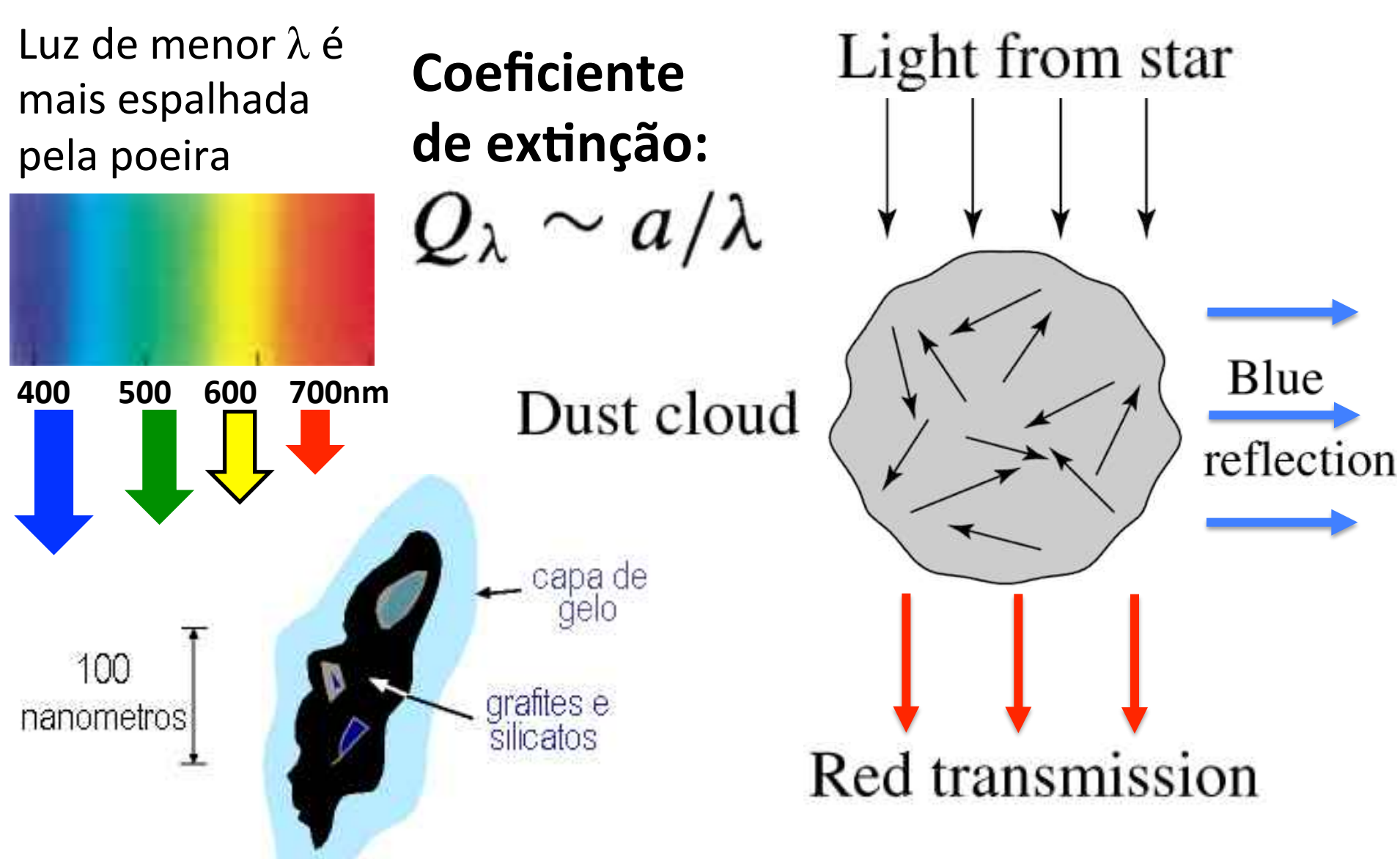


Se 
$$\lambda \ll a$$
:

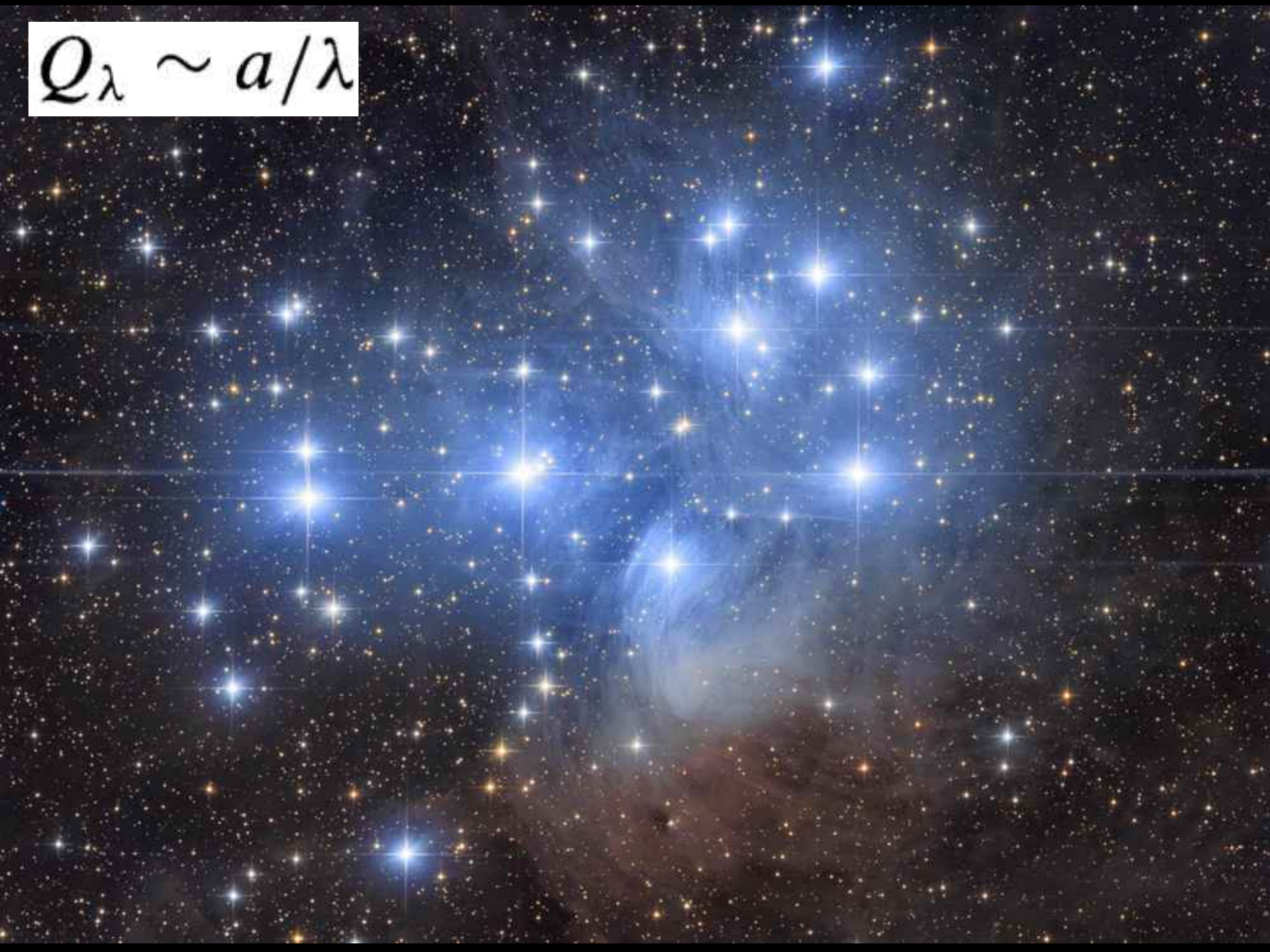
$$Q_{\lambda} \sim \text{constante}$$

$$\sigma_{\lambda} \propto a^2 \qquad (\lambda \ll a)$$

## Extinção e avermelhamento por poeira



Grão de poeira



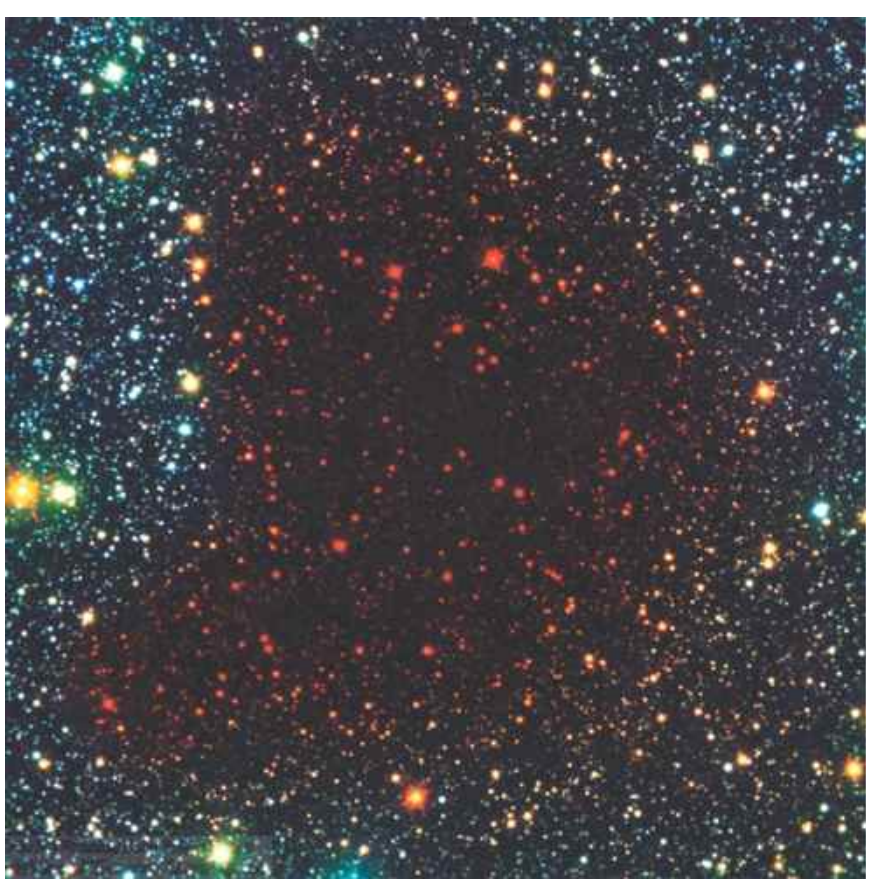
### Avermelhamento interestelar

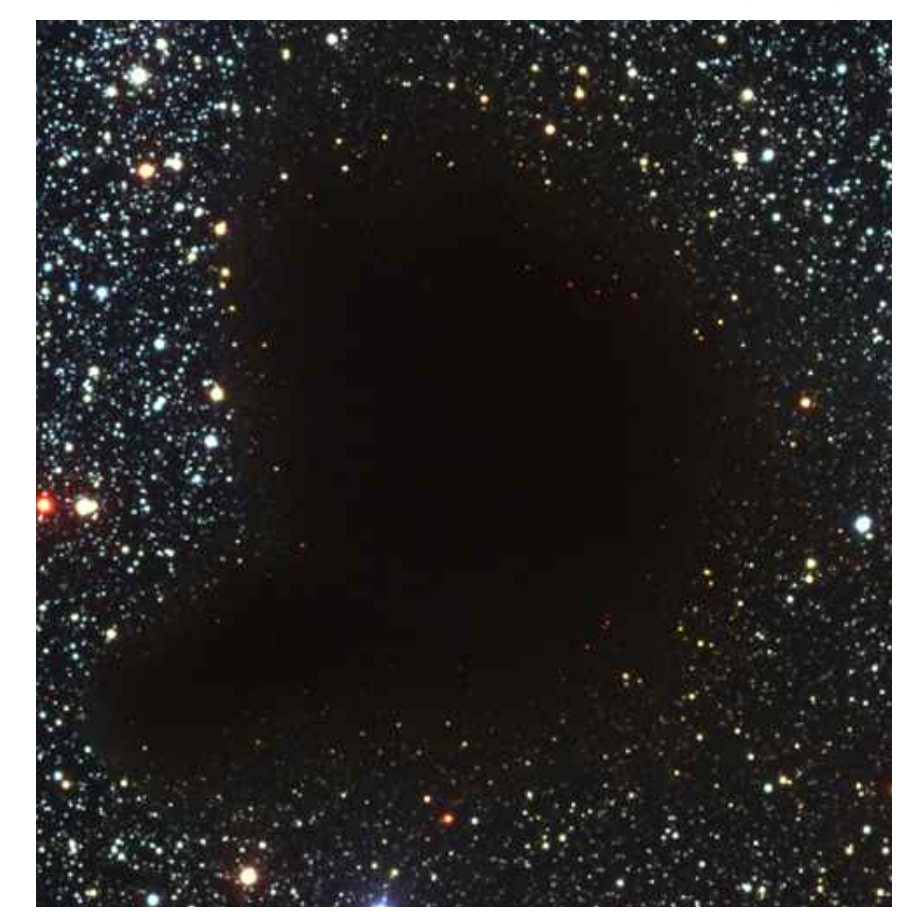
Visível

# Coeficiente $Q_{\lambda} \sim a/\lambda$ de extinção:

$$Q_{\lambda} \sim a/\lambda$$

#### Infravermelho





Luz azul é mais espalhada pela poeira interestelar

→ avermelhamento

## Espalhamento Rayleigh: céu azul. Moléculas do ar tem $a <<< \lambda \rightarrow \sigma_{\lambda} \propto \lambda^{-4}$



Size of  $N_2$  and  $O_2 \sim 0.3$  nm <<< blue light (400 nm)

Exemplo 12.1.1. Uma estrela localizada a 0,8 kpc é mais fraca que o esperado em 550nm por  $A_V = 1,1$  magnitudes, onde  $A_V$  é a extinção no filtro V. Se  $Q_{550} = 1,5$  e supondo grãos esféricos com raio de 0,2  $\mu$ m, estimar a densidade média do material interestelar entre a Terra e a estrela.

dado:  $A_V = 1,1 \text{ mag em } 550 \text{nm}$ 

Como 
$$A_{\lambda} = 1.086 \tau_{\lambda} \rightarrow \tau_{550} \sim 1$$

$$Q_{550}$$
 = 1,5  $Q_{\lambda} \equiv \frac{\sigma_{\lambda}}{\sigma_{g}}$   $\sigma_{g} = \pi a^{2}$ 

$$\sigma_{550} = \sigma_g Q_{\lambda} = \pi a^2 Q_{550} \simeq 2 \times 10^{-13} \text{ m}^2$$

$$\sigma_{550} \sim 2 \times 10^{-13} \text{ m}^2$$

$$\sigma_{550} \sim 2 \times 10^{-13} \text{ m}^2$$
  $\tau_{550} \sim 1$ 

$$au_{550}$$
 ~ 1

Lembrando:  $\tau_{\lambda} = \sigma_{\lambda} N_d$ 

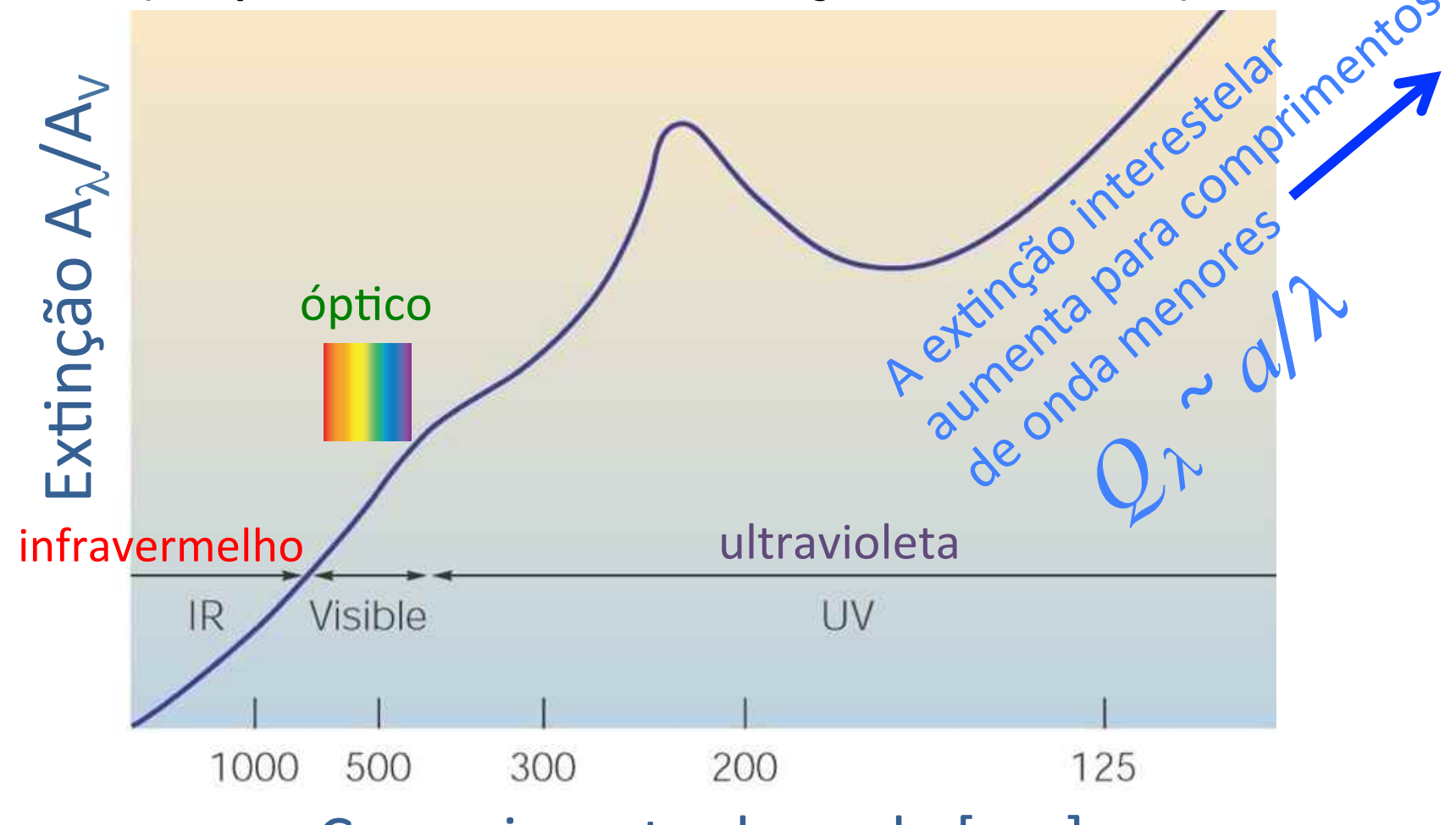
$$N_d = \frac{\tau_{550}}{\sigma_{550}} \simeq 5 \times 10^{12} \,\mathrm{m}^{-2}$$

Como:  $N_d = \int_0^s n(s') ds' = \overline{n} \times 0.8 \text{ kpc}$ 

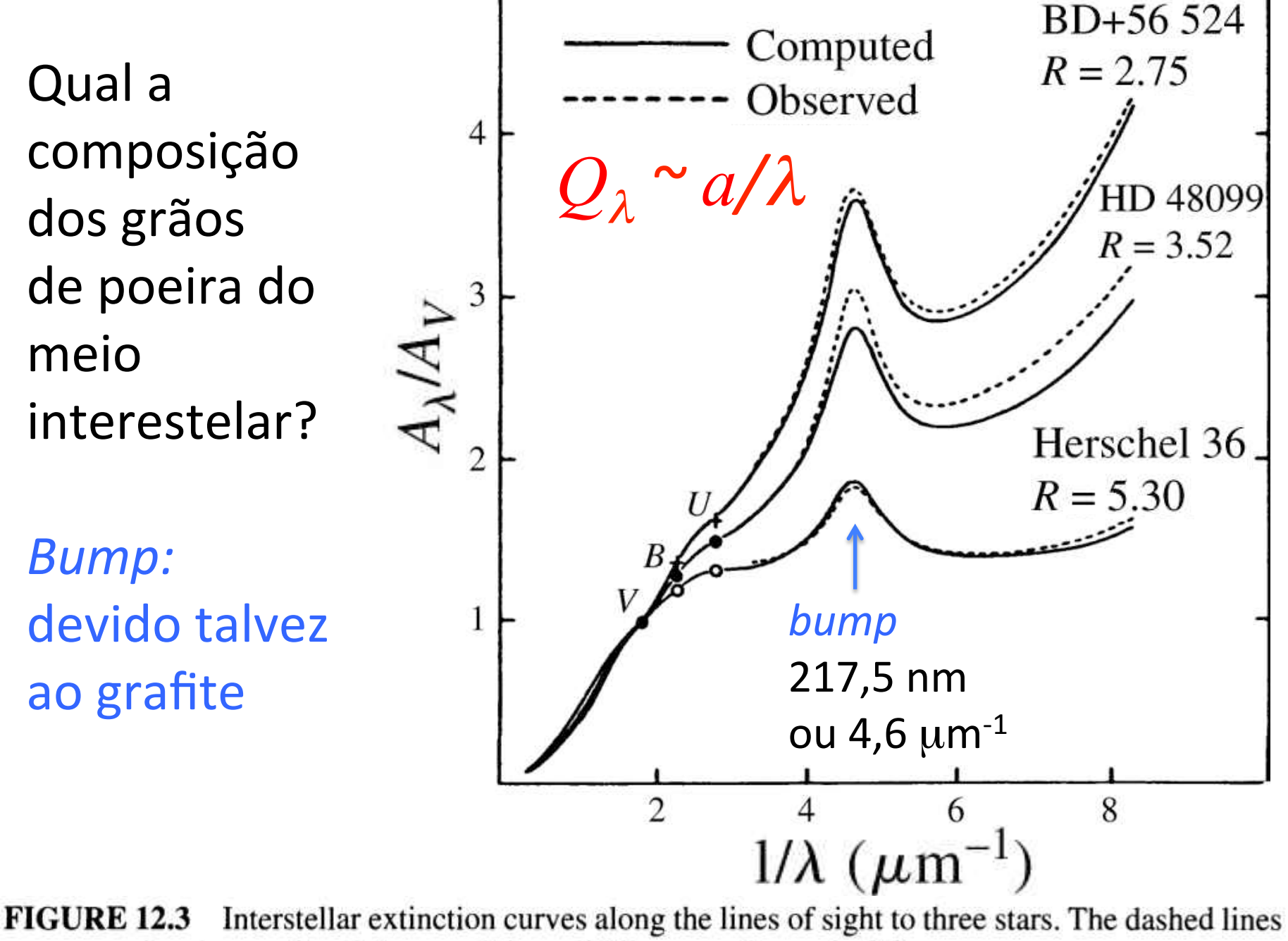
$$\overline{n} = \frac{N_d}{0.8 \text{ kpc}} = 2 \times 10^{-7} \text{ m}^{-3}$$

Essa densidade é típica do plano da Via Láctea

Curva de extinção interestelar (dependência da extinção com  $1/\lambda$ )



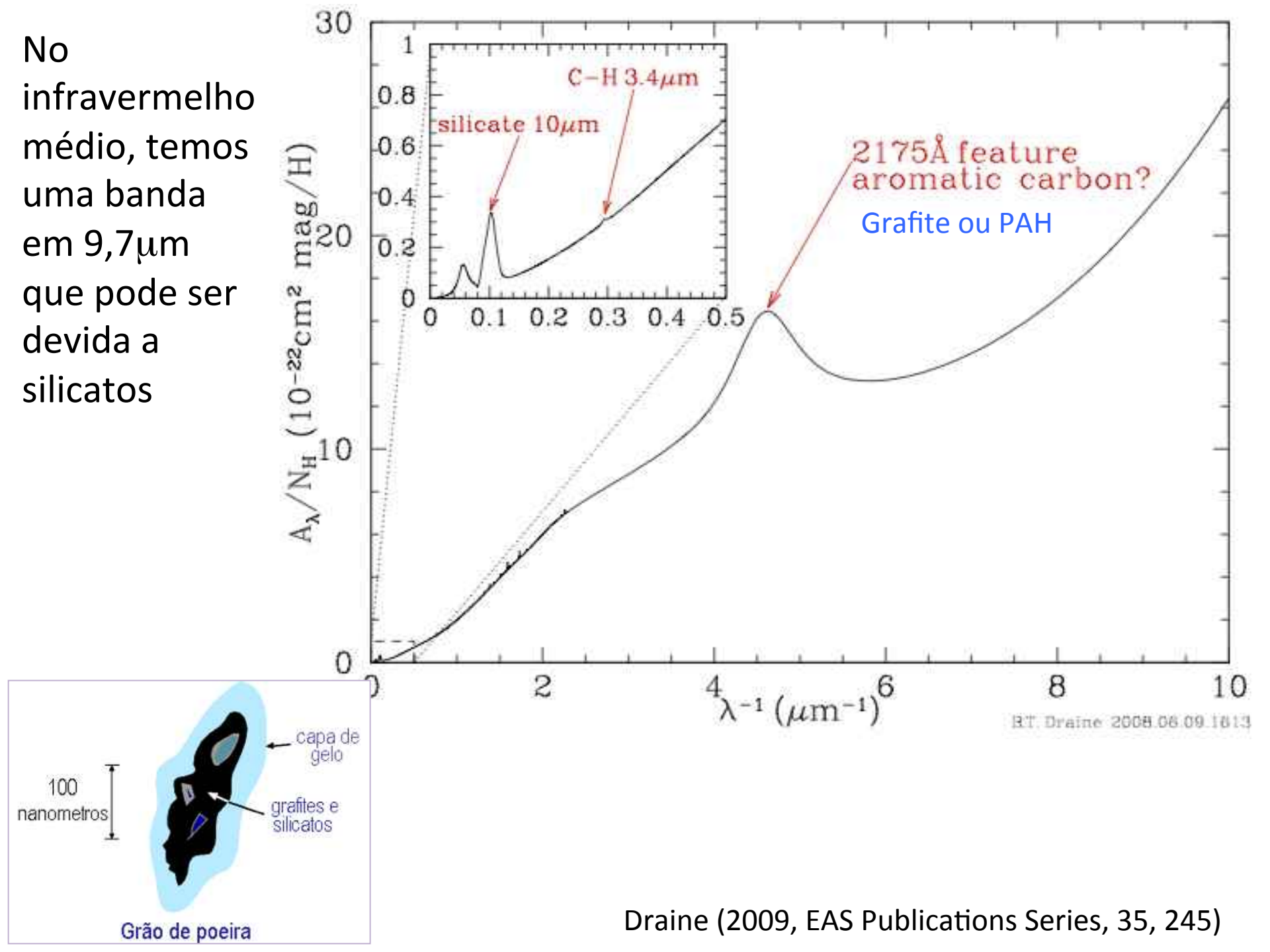
Comprimento de onda [nm]



represent the observational data, and the solid lines are theoretical fits.

Η Η Η H Η Η Η Outra  $\mathbf{H}$ H H Η possibilidade é H Η Η que o bump  $C_{14} H_{10}$ H H seja devido a H H **PAHs** H H H Η H Η (Polycyclic H Η aromatic  $C_{42} H_{18}$ hydrocarbons) H H H Η Η  $C_{24} H_{12}$ 

**FIGURE 12.4** The structures of several polycyclic aromatic hydrocarbons:  $C_{14}H_{10}$  (anthracene),  $C_{24}H_{12}$  (coronene),  $C_{42}H_{18}$  (hexabenzocoronene). The hexagonal structures are shorthand for indicating the presence of a carbon atom at each corner of the hexagon.



## Possível composição de grãos de poeira do

meio interestelar

A&A 462, 667-676 (2007)

DOI: 10.1051/0004-6361:20065436

© ESO 2007

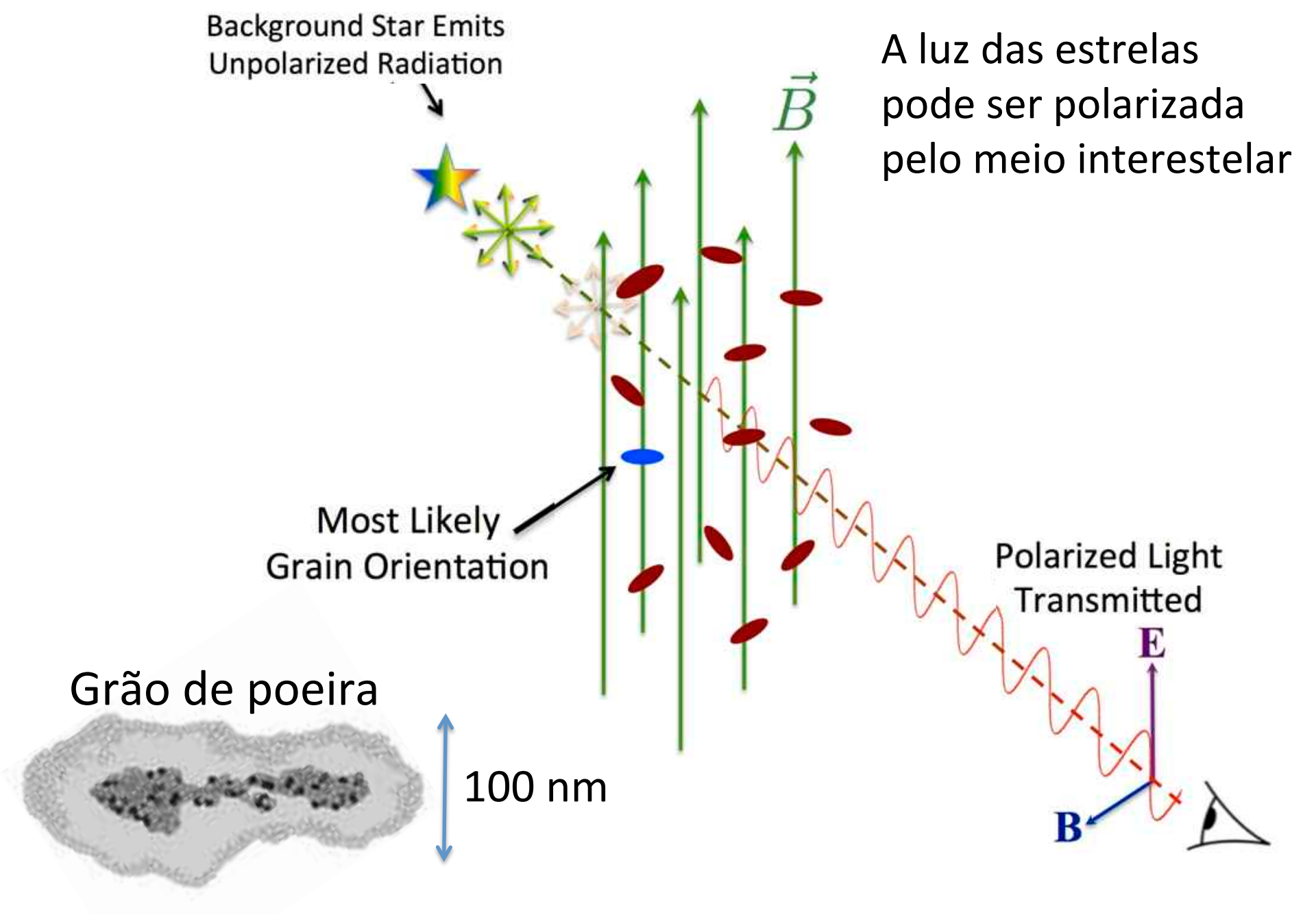
Astronomy Astrophysics

#### The shape and composition of interstellar silicate grains

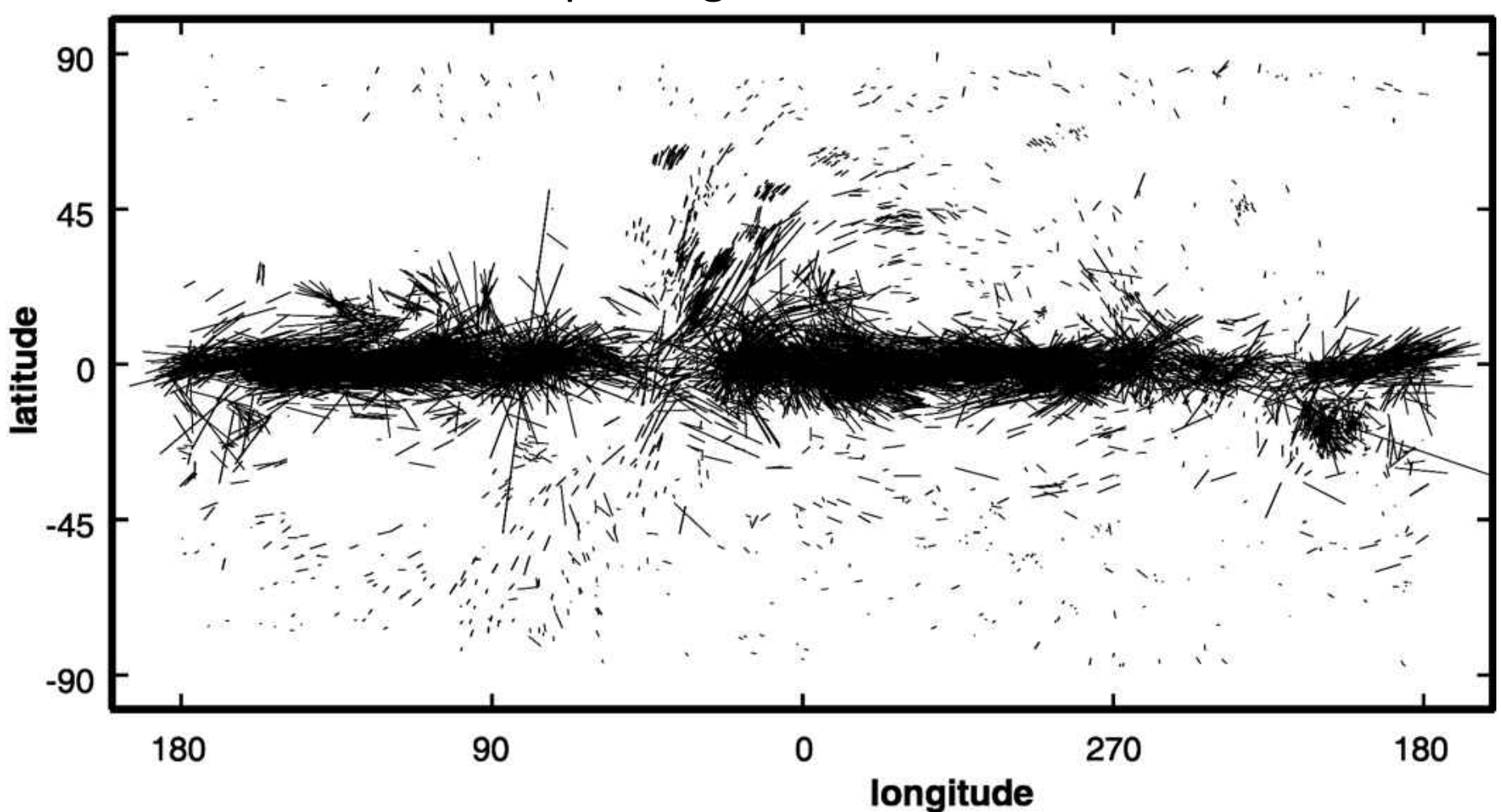
M. Min<sup>1</sup>, L. B. F. M. Waters<sup>1,2</sup>, A. de Koter<sup>1</sup>, J. W. Hovenier<sup>1</sup>, L. P. Keller<sup>3</sup>, and F. Markwick-Kemper<sup>4</sup>

Name	Composition	Lattice structure
Olivine $(x = 0.5)$	MgFeSiO <sub>4</sub>	Amorphous
Pyroxene $(x = 0.5)$	MgFeSi <sub>2</sub> O <sub>6</sub>	Amorphous
Olivine $(x = 1)$	Mg <sub>2</sub> SiO <sub>4</sub>	Amorphous
Pyroxene $(x = 1)$	MgSiO <sub>3</sub>	Amorphous
Na/Al pyroxene	NaAlSi <sub>2</sub> O <sub>6</sub>	Amorphous
Silica	$SiO_2$	Amorphous
Forsterite	Mg <sub>2</sub> SiO <sub>4</sub>	Crystalline
Enstatite	MgSiO <sub>3</sub>	Crystalline
Silicon carbide	SiC	Crystalline

x = Mg/(Fe + Mg)

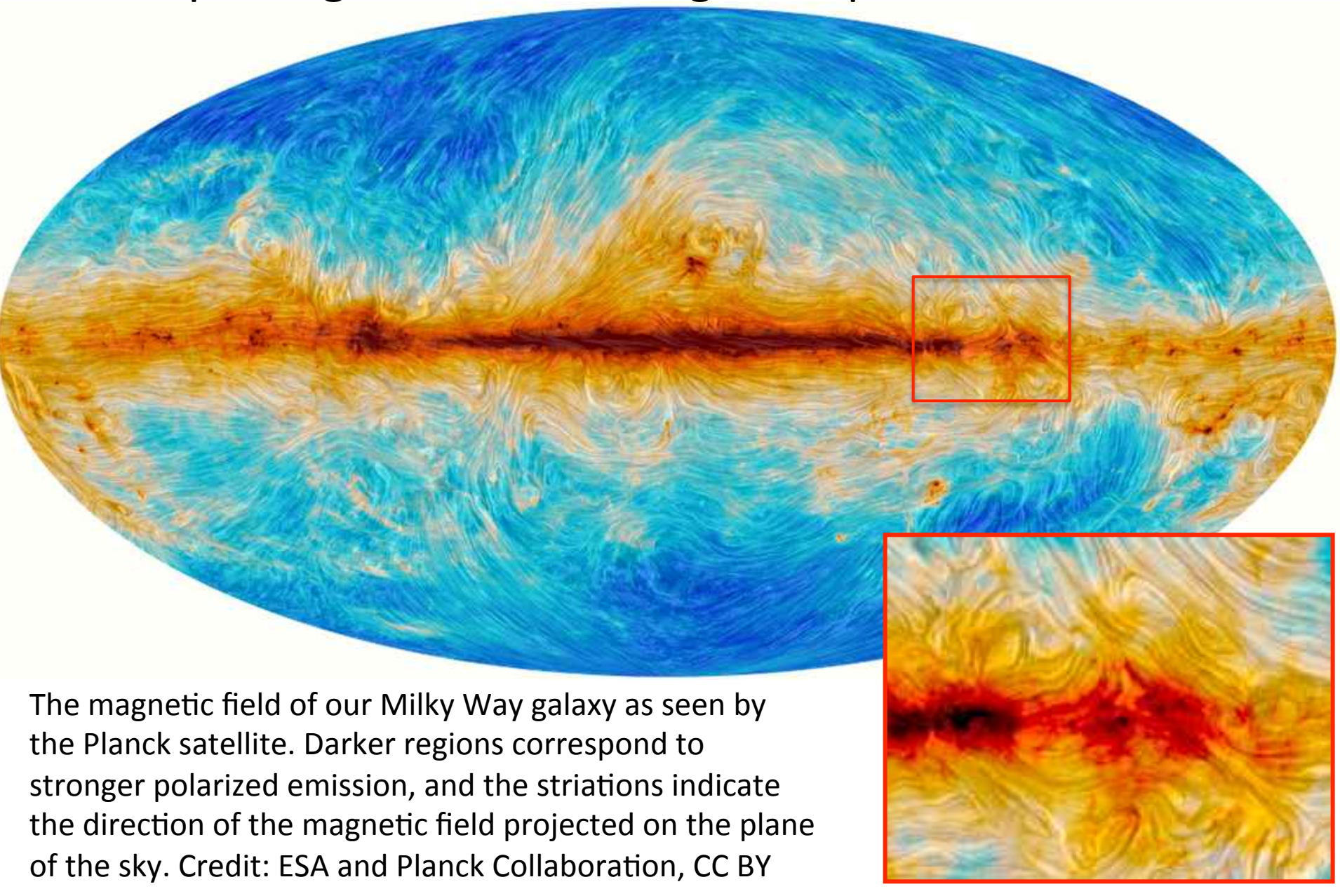


#### O campo magnético da Via Láctea



Polarization measurements over the full sky shows that the orientation of the polarization follows the Galactic plane and therefore map out the large scale magnetic field. Note that the structures at high Galactic latitude mostly are a projection effect and trace near-by ISM objects such as "Loop 1" (see e.g. Berdyugin et al. 2014). (Figure courtesy of Prof. T.J. Jones.)

#### O campo magnético da nossa galáxia pelo satélite Planck





A poeira (regiões escuras no disco da Galáxia) representa apenas ~1% do meio interestelar

A componente mais abundante do meio interestelar é o gás (principalmente hidrogênio)

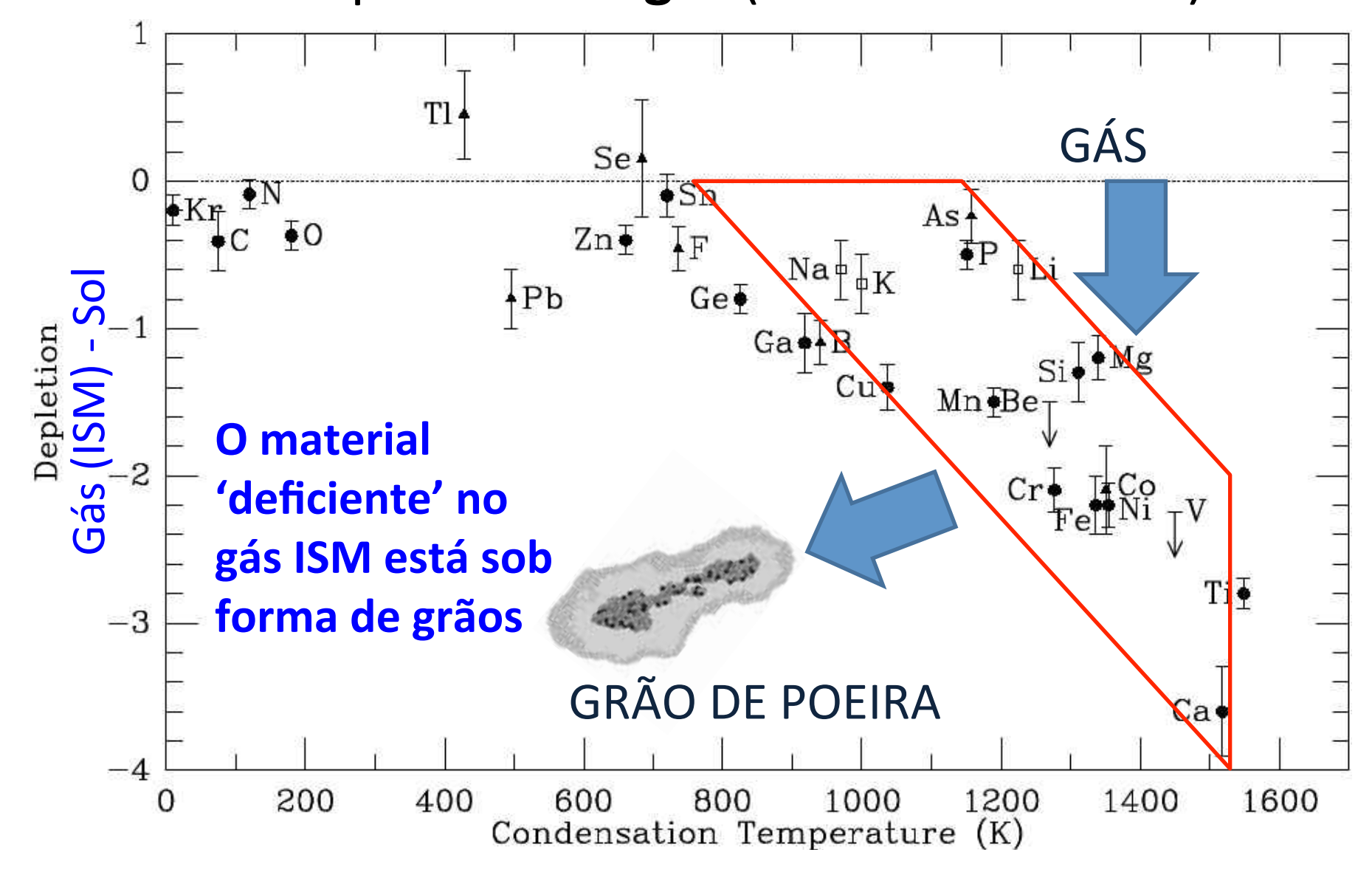
## Composição química do gás ISM ~ Sol



Alguns elementos (e.g. C, O, Si, Mg, Fe) são menos abundantes no ISM do que no Sol

ESA/NASA/SOHO

#### Abundâncias químicas no gás (meio interestelar) - Sol



# Hidrogênio: a componente principal do gás do meio interestelar

H é o elemento mais abundante: 70% por massa. He ~ 28%, metais ~2%

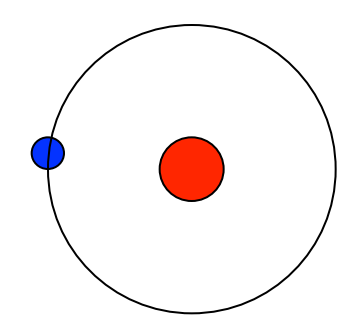
As regiões são classificadas de acordo ao estado do H

- H<sub>2</sub>: moleculares (10 20 K)
- H I: atômica (neutra), nuvens frias (30 100 K)
- H I: atômica (neutra), nuvens mornas (5000 K)
- H II: nuvens mornas, H ionizado (10 000)
- Íons : gás quente (10<sup>6</sup> K), H e metais ionizados

# Percentagens aproximadas do H neutro (H I), H ionizado (H II), e H molecular ( $H_2$ )

HI

~30% nuvens frias ~30% nuvens mornas

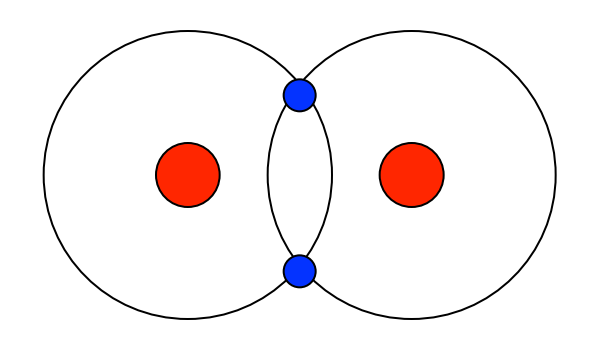


H neutro tem o eorbitando o p+. Quase todo o H I em estado base → sem linhas ⊗ H+=HII:

~15% nuvens mornas

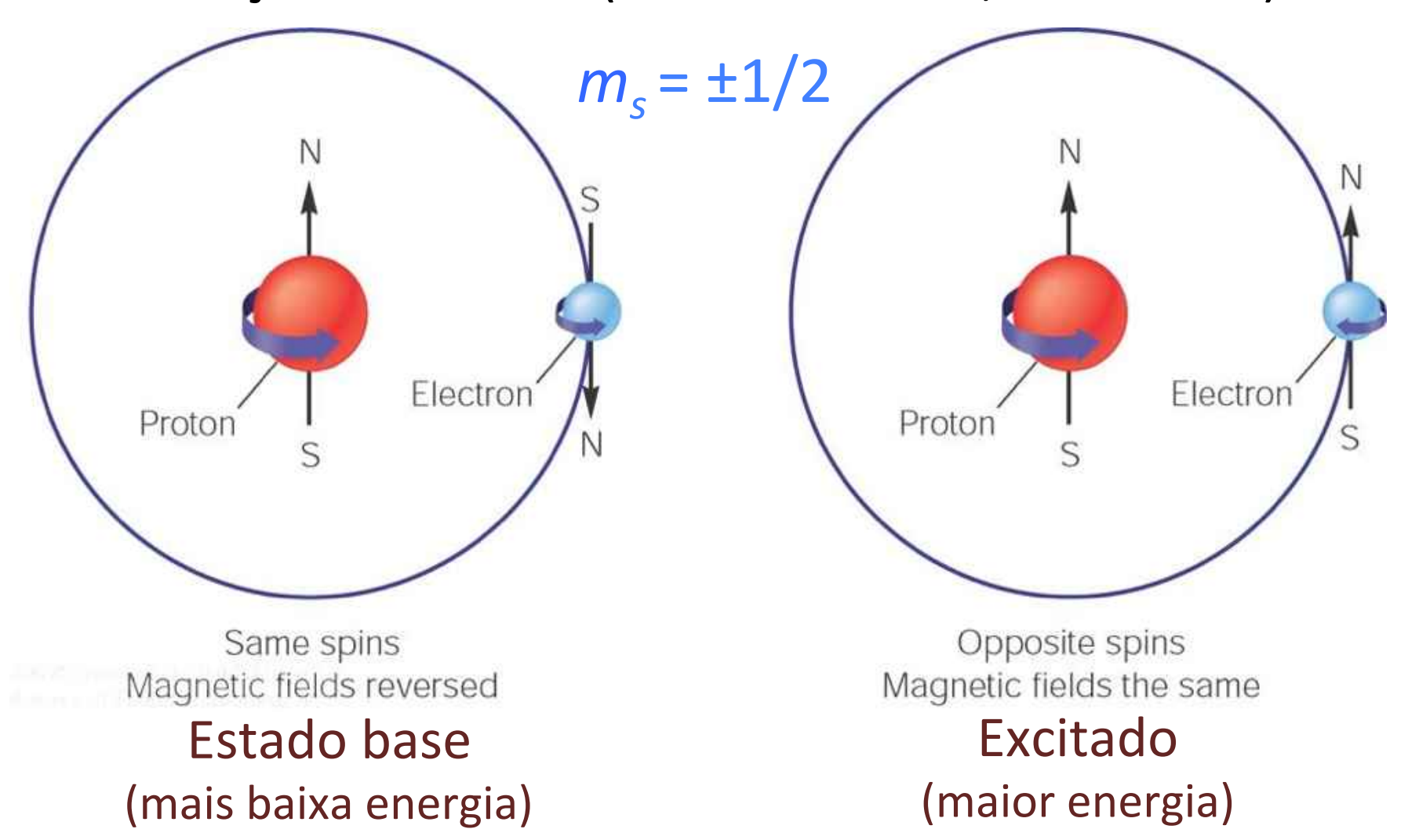


H ionizado é quando o átomo de H perde o eH<sub>2</sub> ~25% nuvens moleculares

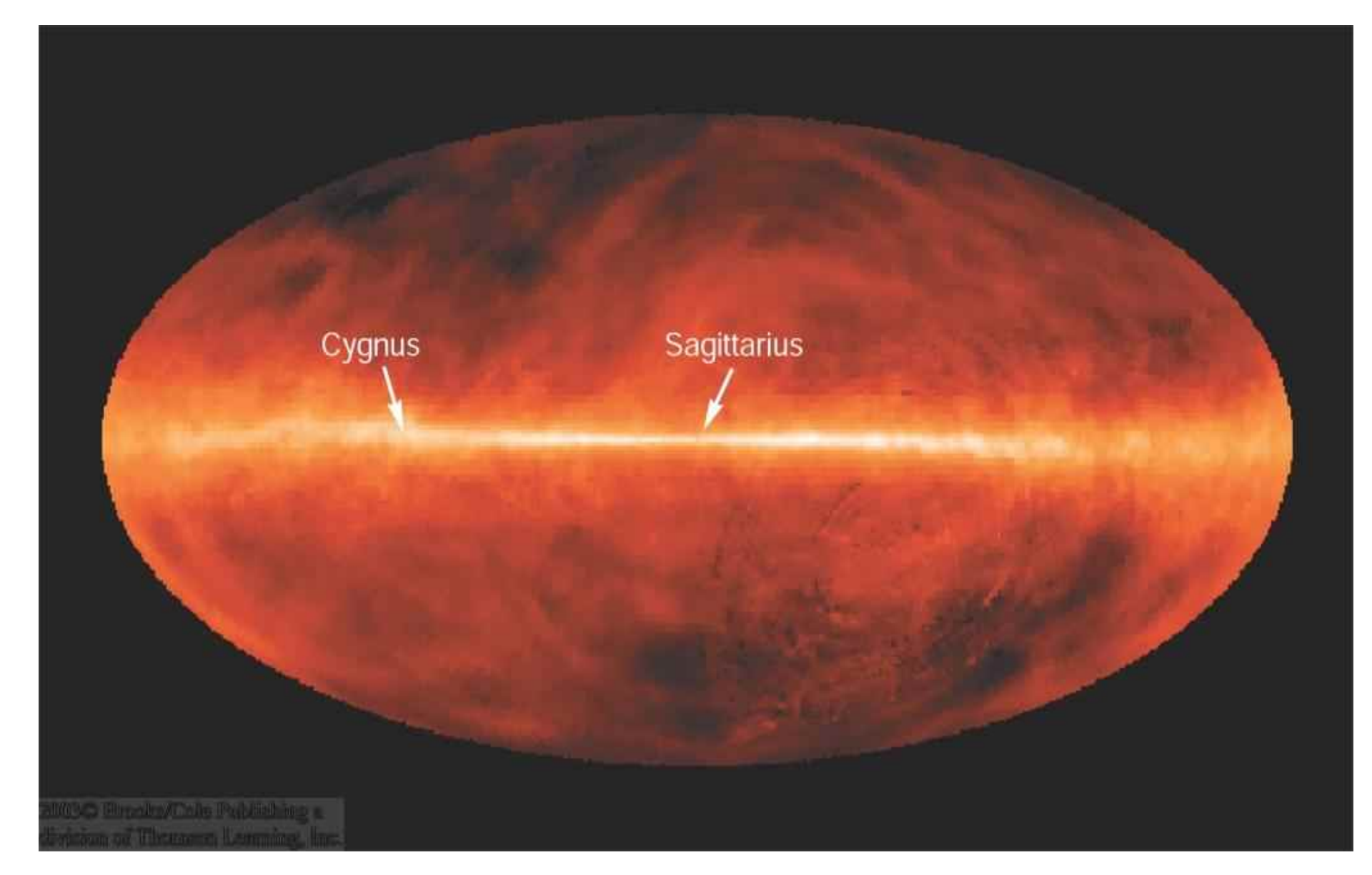


H molecular: 2 átomos neutros partilham seus epara formar molécula H<sub>2</sub>

## Hidrogênio neutro (H I) é difícil de ser observado Radiação em 21 cm (ondas de rádio, 1420 MHz)



## Radiação em 21cm predita: 1944, detectada: 1951 Mapa do céu em 21 cm



#### Nuvens interestelares difusas

- H neutro
- Temperatura 30 100 K
- Massas  $1 100 M_{Sol}$
- Densidades numéricas 1x10<sup>8</sup> m<sup>-3</sup> 8x10<sup>8</sup> m<sup>-3</sup>
- Se  $A_V < 1 \text{ mag} \rightarrow$  Densidade de coluna de hidrogênio neutro  $N_H$  é proporcional a  $N_d$  (d: *dust*, poeira)

Isso sugere que o gás e a poeira estão distribuídos juntos no ISM

Poeira e N<sub>H</sub> alto → podem proteger regiões com H<sub>2</sub>

#### **Nuvens Moleculares**

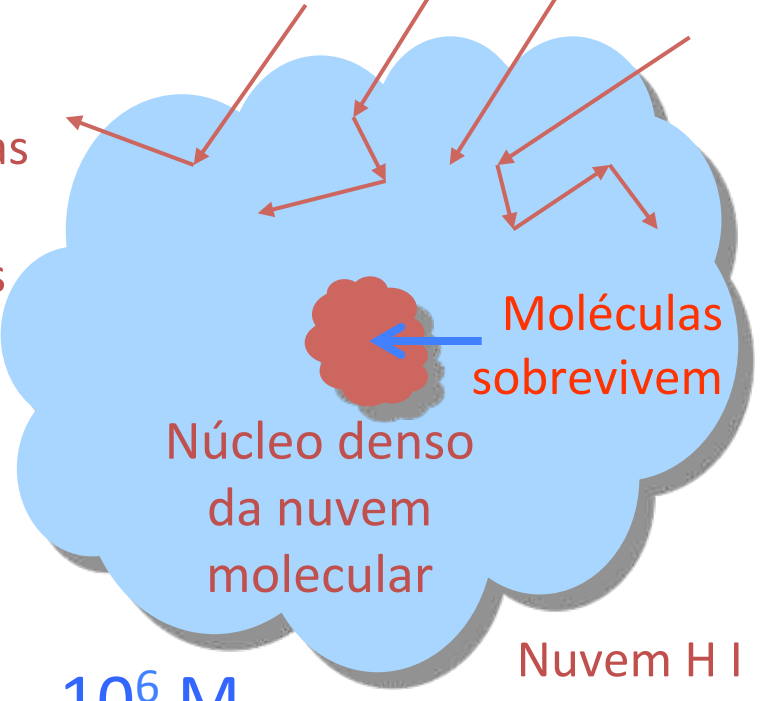
Moléculas são facilmente destruídas (dissociadas) por fótons UV de estrelas quentes

- NM só podem sobreviver em nuvens densas, nuvens de poeira e gás HI, onde a radiação UV é completamente absorvida

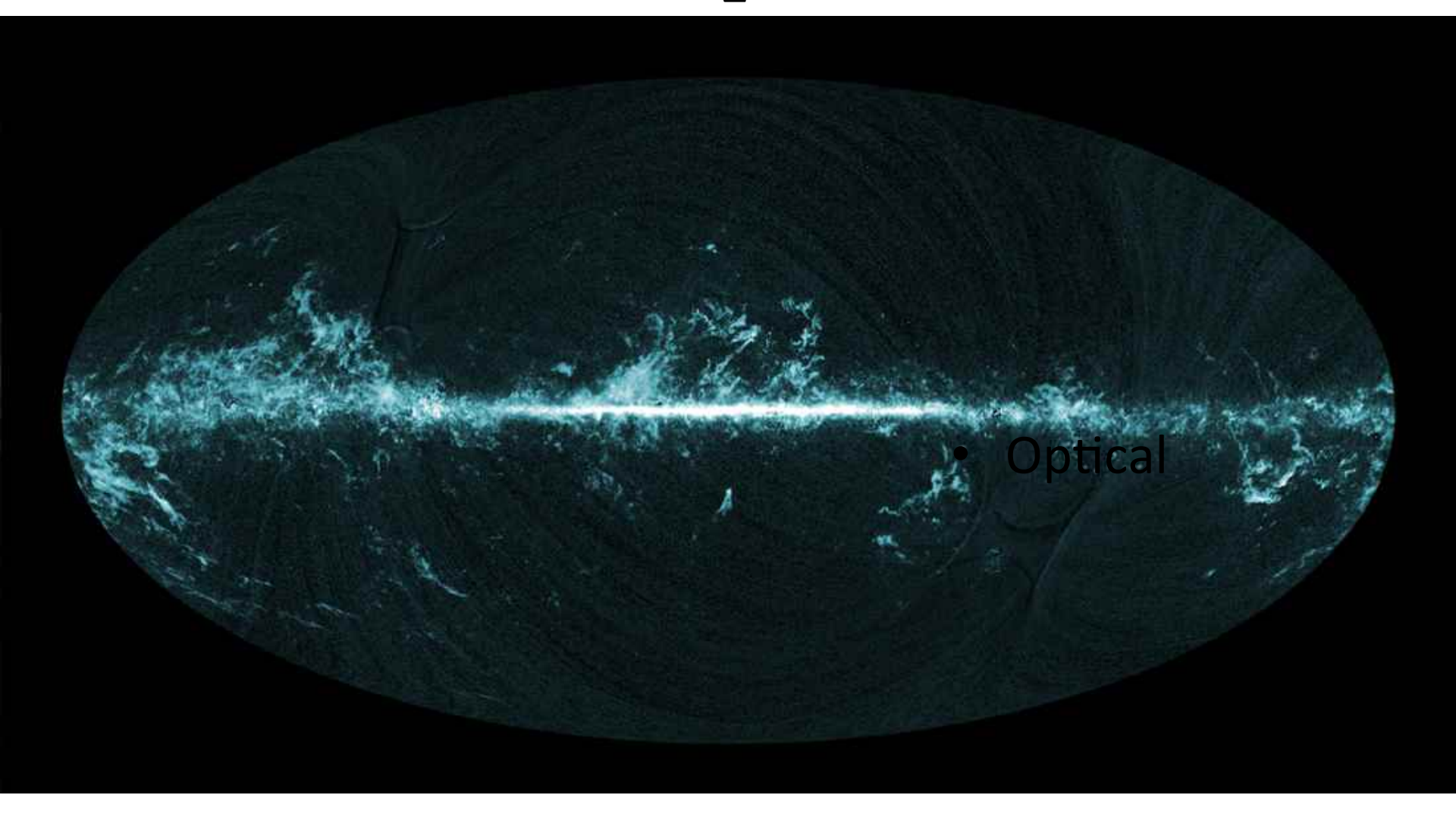
Emissão UV de estrelas cercanas destrói as moléculas nas partes exteriores da nuvem

Diâmetro  $\approx 15 - 50$  pc Temperatura  $\approx 15$  K Massa total  $\approx 10^2 - 10^6$  M<sub>Sol</sub>

Giant molecular clouds:  $\sim 10^5 - 10^6 \, M_{Sol}$ 



# CO (indicador de H<sub>2</sub>) em nossa galáxia

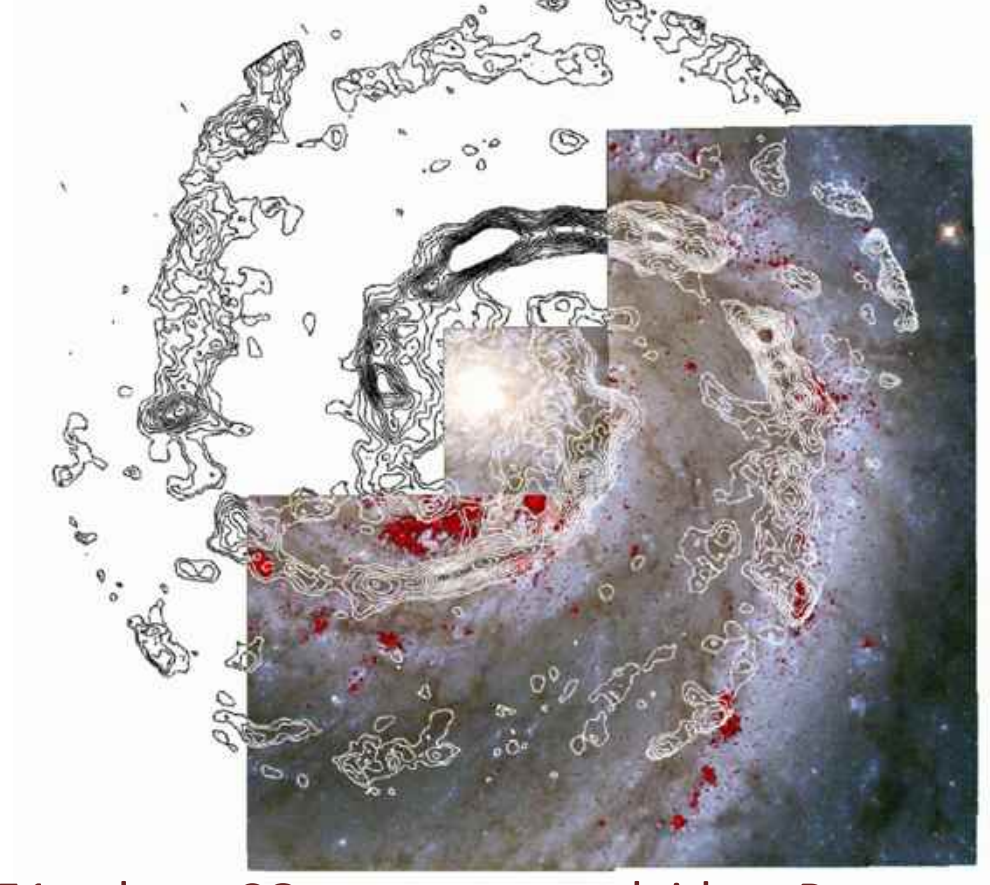


This all-sky image shows the distribution of carbon monoxide (CO), a molecule used by astronomers to trace molecular clouds across the sky, as seen by Planck.

# H<sub>2</sub> é difícil de ser detectado, mas onde tem CO tem H<sub>2</sub>, então CO é usado como 'proxy'



Nuvens moleculares são importantes como berçários de estrelas



M51 galaxy: CO contours overlaid on Pa emission + optical



# Orion giant molecular cloud

© Terry Hancock https://www.flickr.com/photos/terryhancock/ 13062852053/in/album-72157650412048611/



### Estrutura de nuvens moleculares gigantes

- Complexos de nuvens escuras:  $^{\sim}$  10<sup>4</sup> M<sub>Sol</sub>, A<sub>V</sub>  $^{\sim}$  5, n  $^{\sim}$  5x10<sup>8</sup> m<sup>-3</sup>, diâmetros  $^{\sim}$ 10 pc, T  $^{\sim}$  10 K.
- Individual *clumps*:  $^{\sim}$  30 M<sub>Sol</sub>, A<sub>V</sub>  $^{\sim}$  10, n  $^{\sim}$  10 m<sup>-3</sup>, diâmetros  $^{\sim}$ 2 pc, T  $^{\sim}$  10 K.
- Dense cores:  $^{\sim}$  10 M<sub>Sol</sub>, A<sub>V</sub> > 10, n  $^{\sim}$  10<sup>10</sup> m<sup>-3</sup>, diâmetros  $^{\sim}$ 0,1 pc, T  $^{\sim}$  10 K.
- Hot cores: ~ 10 3000  $M_{Sol}$ ,  $A_V$  ~ 50, n ~  $10^{13}$   $10^{15}$  m<sup>-3</sup>, diâmetros ~0,05 0,1 pc, T ~ 100 300 K. De acordo a observações do Spitzer e ISO, hot cores têm estrelas O e B dentro deles, sugerindo formação estelar recente

#### Glóbulos de Bok

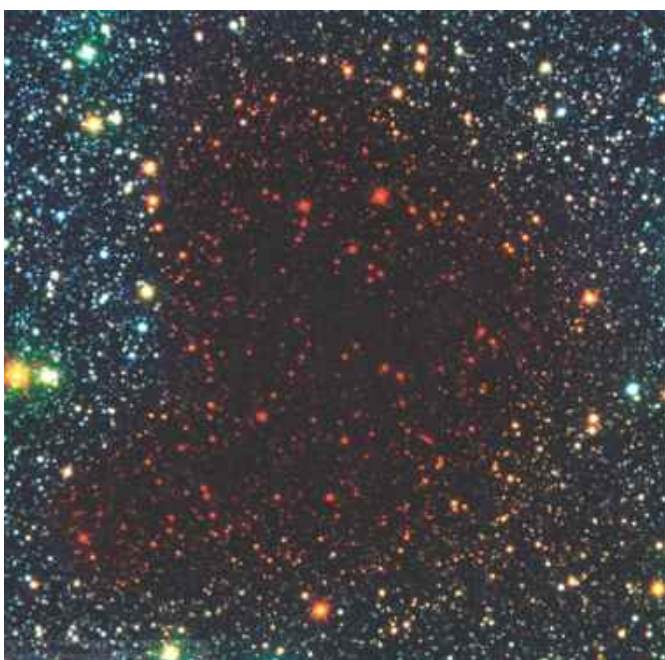
M ~ 1 - 1000  $M_{Sol}$ ,  $A_V$  ~ 10, n >  $10^{10}$  m<sup>-3</sup>, diâmetros <1pc, T ~ 10 K. Infravermelho: a maioria têm estrelas → formação recente.

Fora de nuvens moleculares gigantes; talvez suas NM foram destruídas por radiação de estrelas massivas

> Óptico Infravermelho







Glóbulo de Bok B68 (Barnard 68)

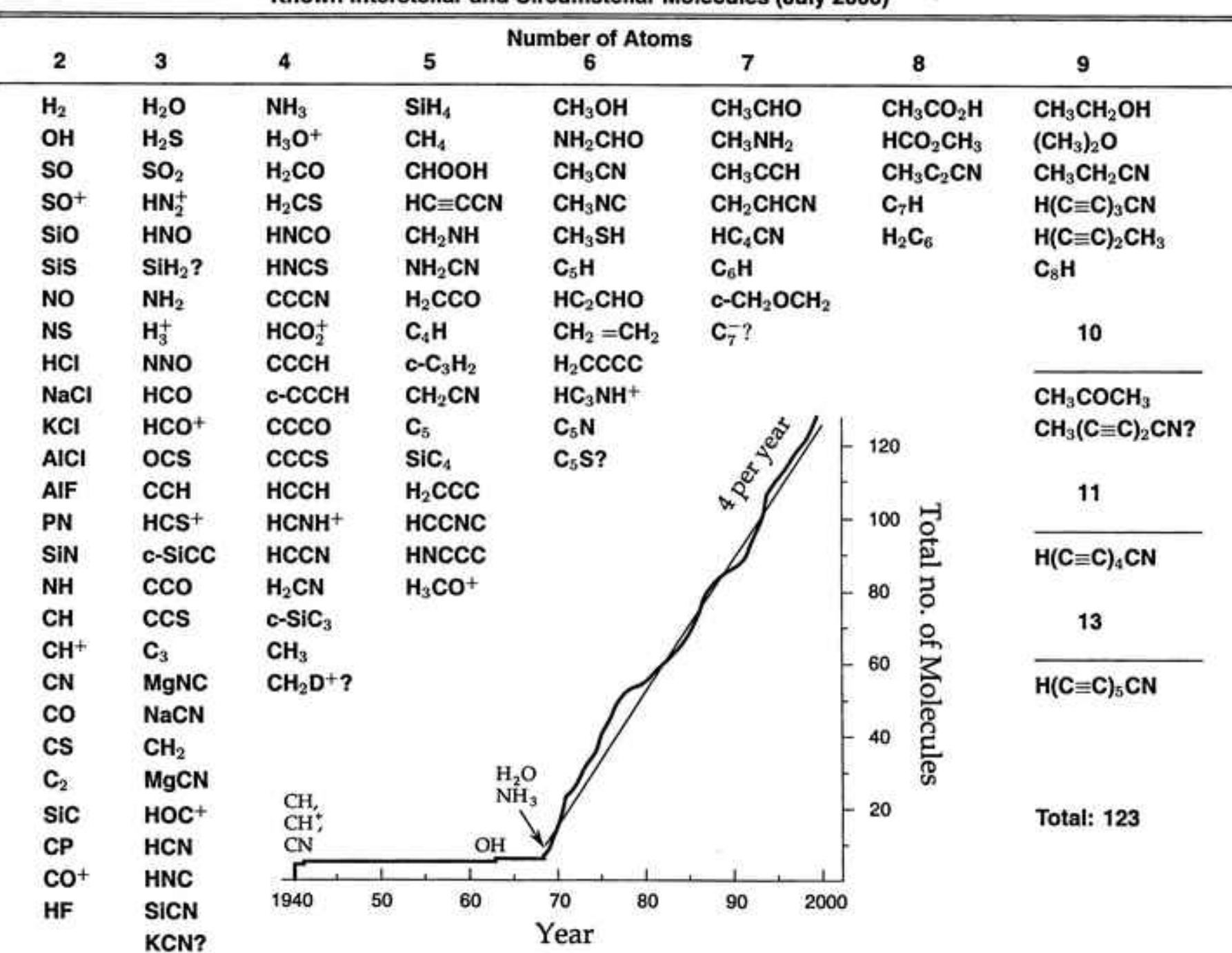
### Química interestelar

Formação de OH: 
$$H^+ + O \rightarrow O^+ + H$$
  $O^+ + H_2 \rightarrow OH^+ + H$   $OH^+ + H_2 \rightarrow H_2O^+ + H$   $OH^+ + e^- \rightarrow OH + H$ .

Formação da água: 
$$H_2O^+ + H_2 \rightarrow H_3O^+ + H$$

$$H_3O^+ + e^- \rightarrow \left\{ \begin{array}{c} OH + H_2 \\ H_2O + H \end{array} \right.$$

Known Interstellar and Circumstellar Molecules (July 2000)



## Aquecimento e resfriamento do ISM

Aquecimento é devido principalmente a raios cósmicos.

 $p^+$  pode ter energias de  $10-10^{14}$  MeV ( $10^3-10^8$  MeV são mais comuns). Raios cósmicos em SN e *flares* estelares

Aquecimento: 
$$p^{+} + H \rightarrow H^{+} + e^{-} + p^{+}$$
$$p^{+} + H_{2} \rightarrow H_{2}^{+} + e^{-} + p^{+}$$

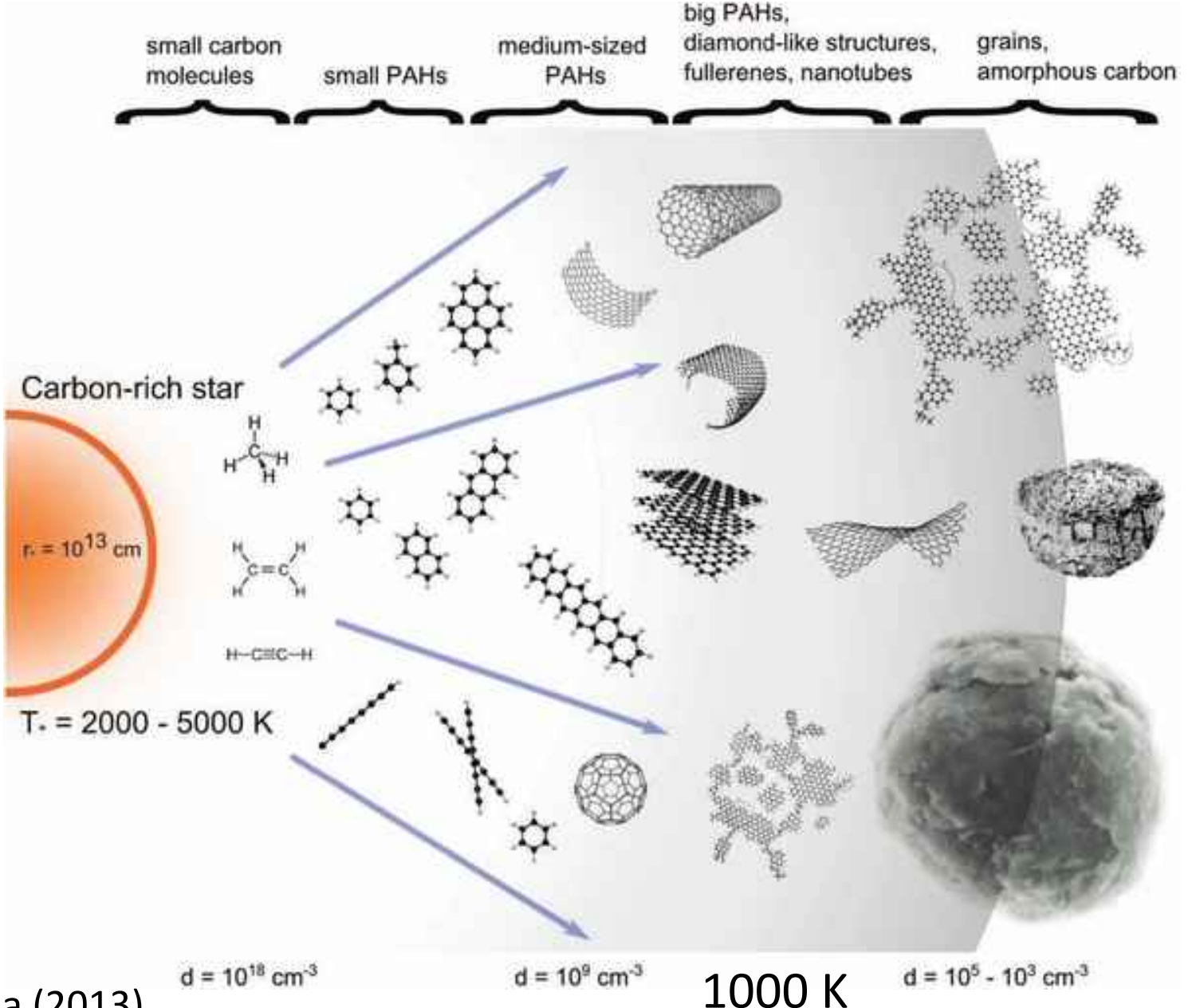
Resfriamento: 
$$O + H \rightarrow O^* + H$$
 (excitação colisional do  $O \rightarrow O^*$ )

 $O^* \rightarrow O + \gamma$ . (fóton infravermelho)

Também contribuem ao resfriamento C<sup>+</sup> + H e CO + H<sub>2</sub>

# A fonte dos grãos de poeira do ISM

Parte dos grãos de poeira foi formada provavelmente em estrelas gigantes frias (AGB), porem a maioria dos grãos talvez foi formada no próprio ISM

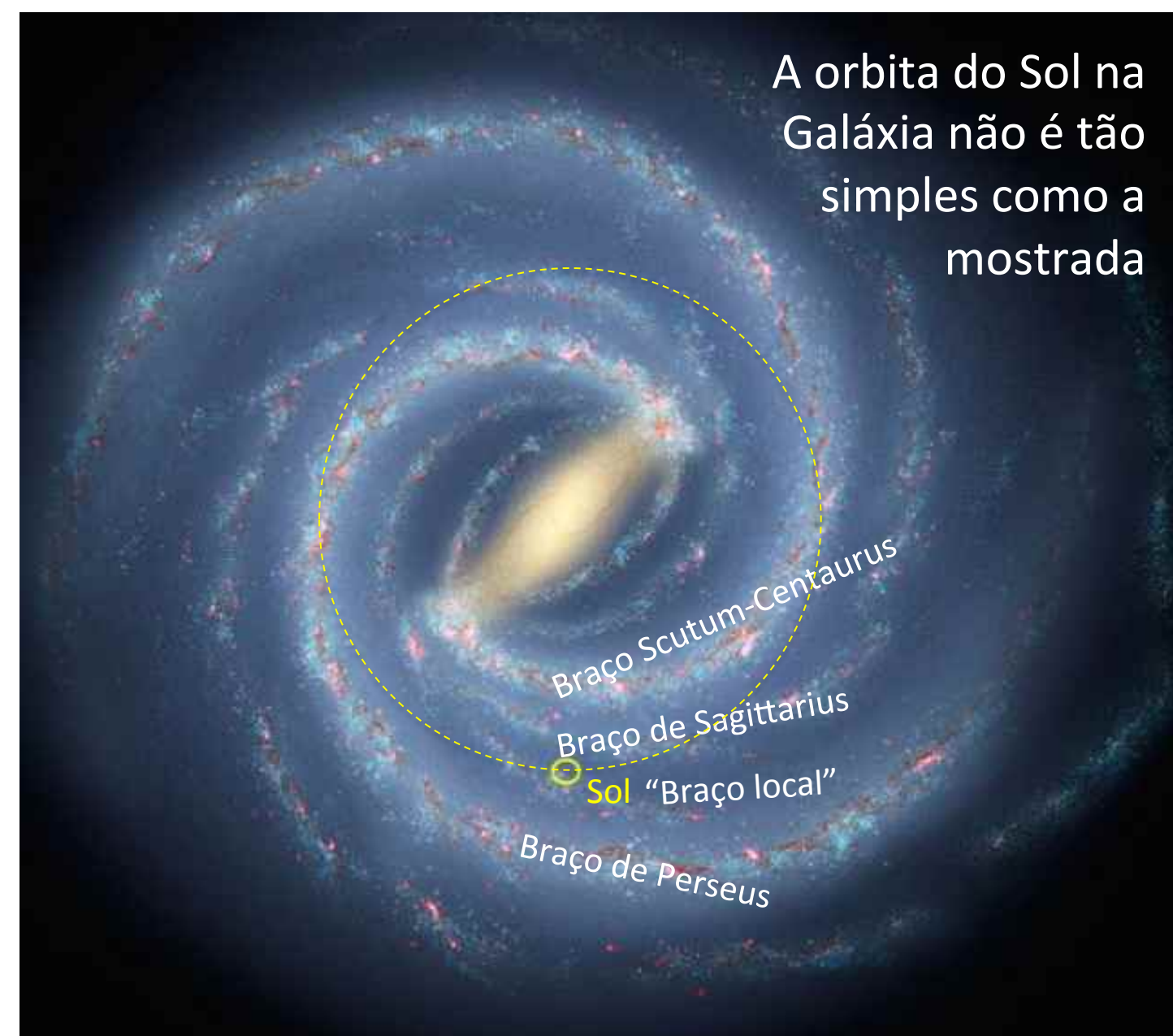


Contreras & Salama (2013)

# 12.2 Formação de estrelas

Nuvens do IMS podem sofrer perturbações e entrar em colapso se estiverem em equilíbrio precário.

- Perturbações entre as nuvens
- Explosões supernova



## 12.2 Formação de estrelas

- Critério principal para o colapso é o Critério de Jeans
   (força gravitacional > força de pressão interna do gás)
- Critério de Bonnor-Ebert: pressão externa do entorno **favorece o colapso** (p.ex. a formação estelar em um *Dense core* é favorecida por pressão da sua Nuvem Molecular gigante)
- Campo magnético ajuda a nuvem a resistir o colapso
- Fragmentação da nuvem favorece o colapso de subestruturas pequenas

#### Critério de Jeans

Lembrando o Teorema do Virial: 2K + U = 0

K: energia cinética interna; U: energia potencial gravitacional

Se 
$$2K < U \rightarrow$$
 colapso

Lembrando do Cap. 10, a energia potencial para uma estrela de massa M e raio R:

$$U \sim -\frac{3}{5} \frac{GM_c^2}{R_c}$$

 $\frac{3}{5} \frac{GM_c^2}{R_c}$  M<sub>C</sub>, R<sub>C</sub>: massa e raio da nuvem (c: cloud)

Energia cinética: 
$$K = \frac{3}{2}NkT$$
  $K = \frac{3M_ckT}{2\mu m_H}$ 

N: número total de partículas 
$$N = \frac{M_c}{\mu m_H}$$

$$K = \frac{3M_c kT}{2\mu m_H}$$

μ: peso molecular médio

$$K = \frac{3M_c kT}{2\mu m_H}$$

$$U \sim -\frac{3}{5} \frac{GM_c^2}{R_c}$$

Se  $2K < U \rightarrow$  colapso:

Supondo densidade inicial 
$$R_c = \left(\frac{3M_c}{4\pi\rho_0}\right)$$

 $3M_ckT$ 

Massa de Jeans M

nuvem:

$$M_C > M_J$$
 ou  $R_C > R_J$ 

$$M_J \simeq \left(\frac{5kT}{G\mu m_H}\right)^{3/2} \left(\frac{3}{4\pi\rho_0}\right)^{1/2}$$

$$R_J \simeq \left(rac{15kT}{4\pi\,G\,\mu m_H
ho_0}
ight)^{1/2} egin{array}{c} {\sf Raio} \ {\sf Jean} \ {\sf R}_{\sf J} \end{array}$$

#### Critério de Bonnor-Ebert

A massa crítica para o colapso depende também da pressão externa  $P_0$ ,. A compressão do gás pela pressão externa **favorece o colapso** 

$$M_{\rm BE} = \frac{c_{\rm BE} v_T^4}{P_0^{1/2} G^{3/2}}$$

Onde: 
$$v_T \equiv \sqrt{kT/\mu m_H}$$
  $c_{\mathrm{BE}} \simeq 1.18$ 

#### **Exemplo 12.2.1**

Uma nuvem difusa de H tem T = 50 K e n ~  $5x10^8$  m<sup>-3</sup>. Supondo nuvem só de H I  $\rightarrow \rho_0$  =  $m_H n_H$  =  $8.4x10^{-19}$ kgm<sup>-3</sup>.

Usando 
$$\mu = 1 \text{ e}$$

$$M_J \simeq \left(\frac{5kT}{G\mu m_H}\right)^{3/2} \left(\frac{3}{4\pi\rho_0}\right)^{1/2} \rightarrow \text{M}_J \sim 1500 \text{ M}_{Sol}$$

Nuvens difusas:  $M_C \sim 1 - 10 M_{Sol} (M_C < M_J \rightarrow sem colapso)$ 

Para *dense core* em nuvem molecular gigante, T = 10 K e  $n_{H2} \sim 10^{10}$  m<sup>-3</sup>. Supondo nuvem só de  $H_2 \rightarrow \rho_0$  =  $2m_H n_{H2}$  = 3 x  $10^{-17}$ kgm<sup>-3</sup> e  $\mu$  ~ 2  $\rightarrow$  M<sub>J</sub> ~ 8 M<sub>Sol</sub>

Massa do dense core  $M_c \sim 10 M_{sol} (M_c > M_J \rightarrow colapso)$ 

Massa de **Bonnor-Ebert**:  $M_{BE} \sim 2 M_{Sol} (M_C > M_{BE} \rightarrow colapso)$ 

## Colapso homólogo

Escala de tempo de *free fall* para o colapso da nuvem:  $t_{\rm ff} = \left(\frac{3\pi}{32} \frac{1}{G_{00}}\right)^{1/2}$ 

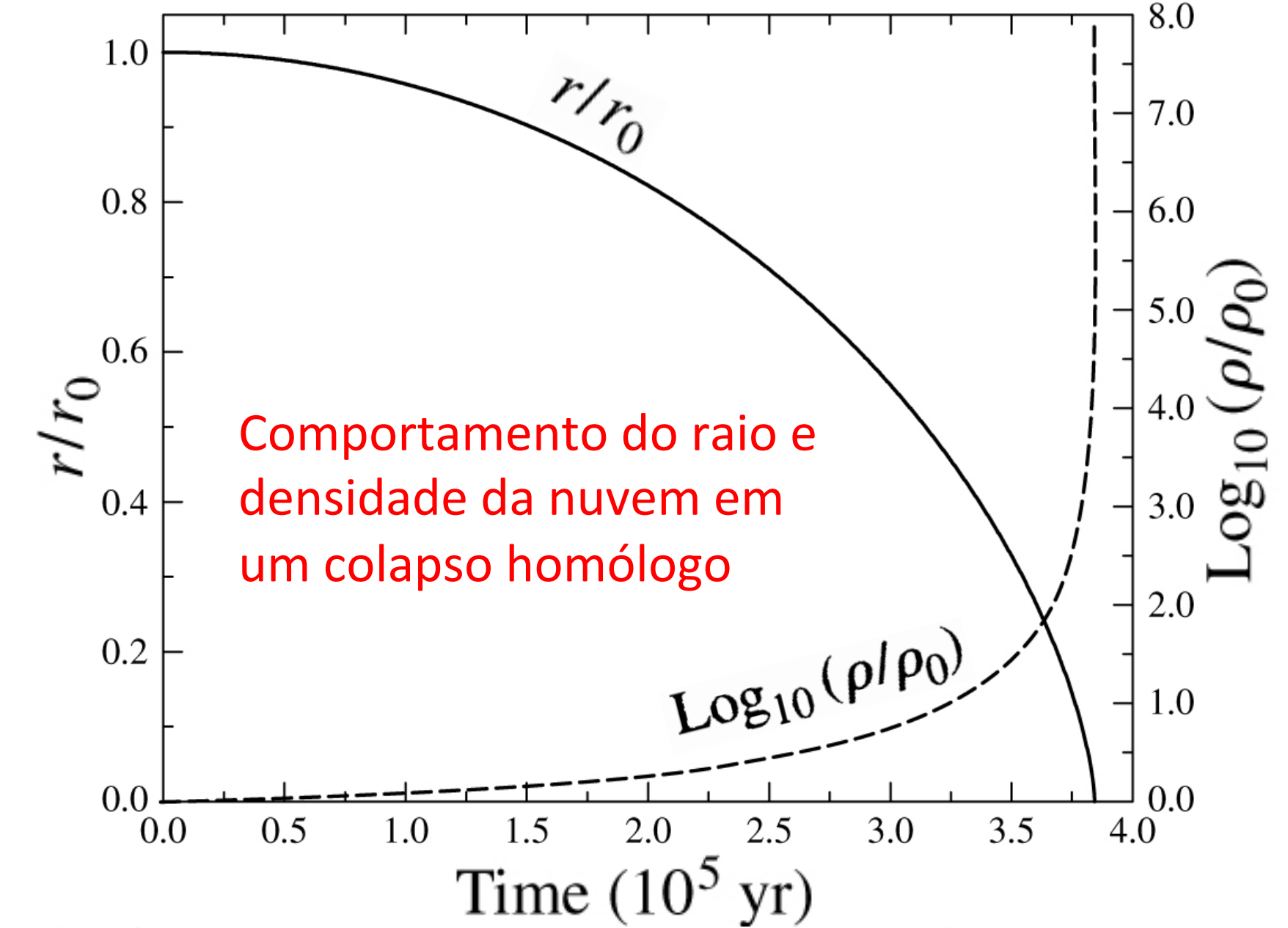
$$t_{\rm ff} = \left(\frac{3\pi}{32} \frac{1}{G\rho_0}\right)^{1/2}$$

O tempo de *free fall* não depende do raio da nuvem <del>-> colapso</del> homólogo (todas as partes da nuvem colapsam no mesmo tempo)

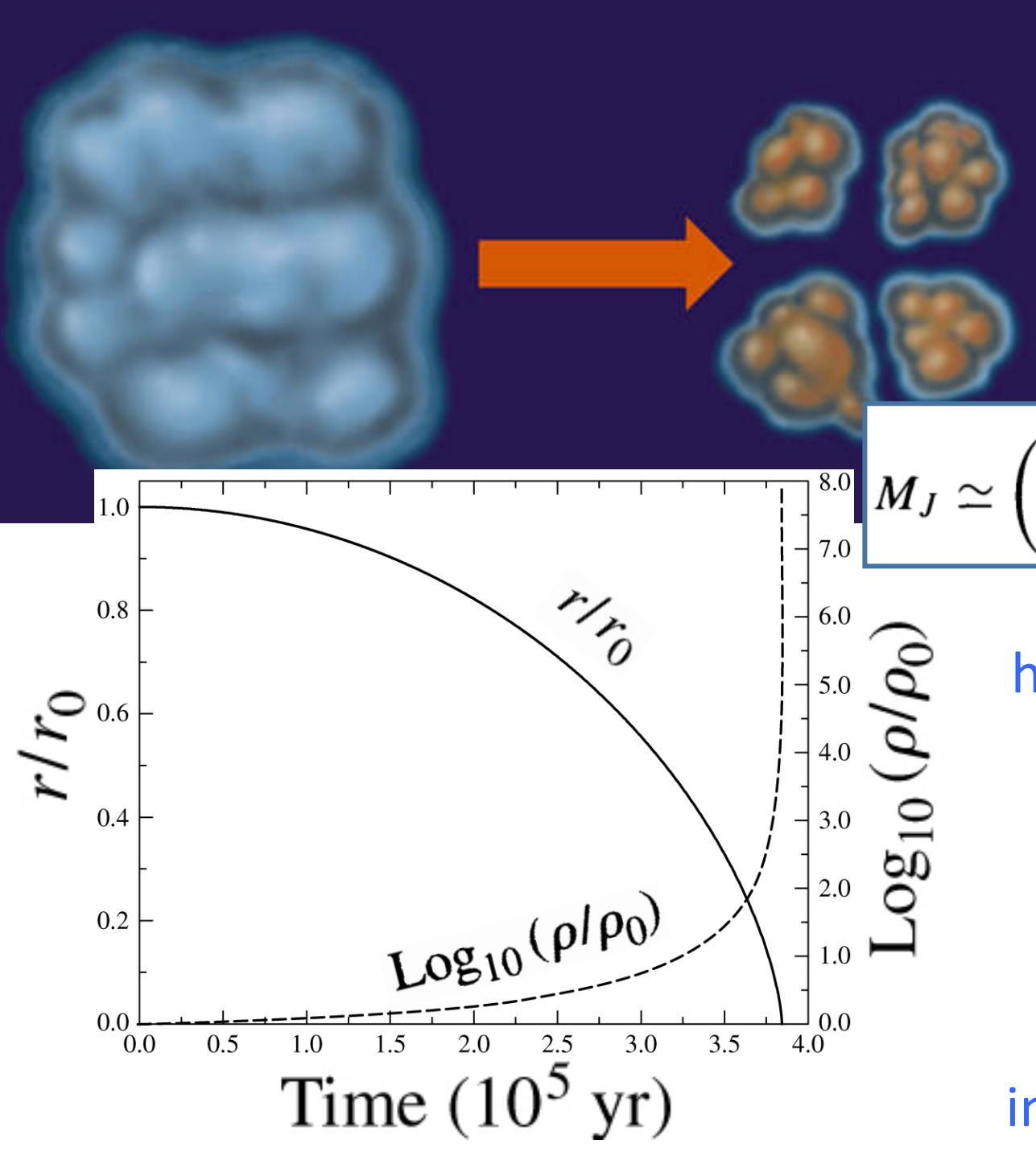
#### **Exemplo 12.2.2**

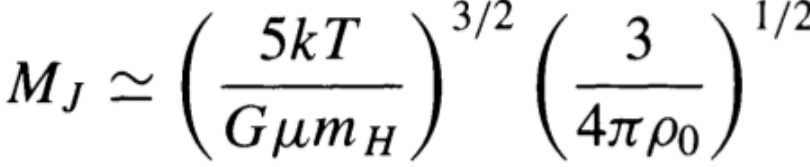
Usando os dados do Exemplo 12.2.1, estimar o tempo de colapso para um "dense core" de uma nuvem molecular.

$$\rho_0 = 3 \times 10^{-17} \text{kgm}^{-3} \rightarrow t_{\text{ff}} = 3.8 \times 10^5 \text{ anos}$$



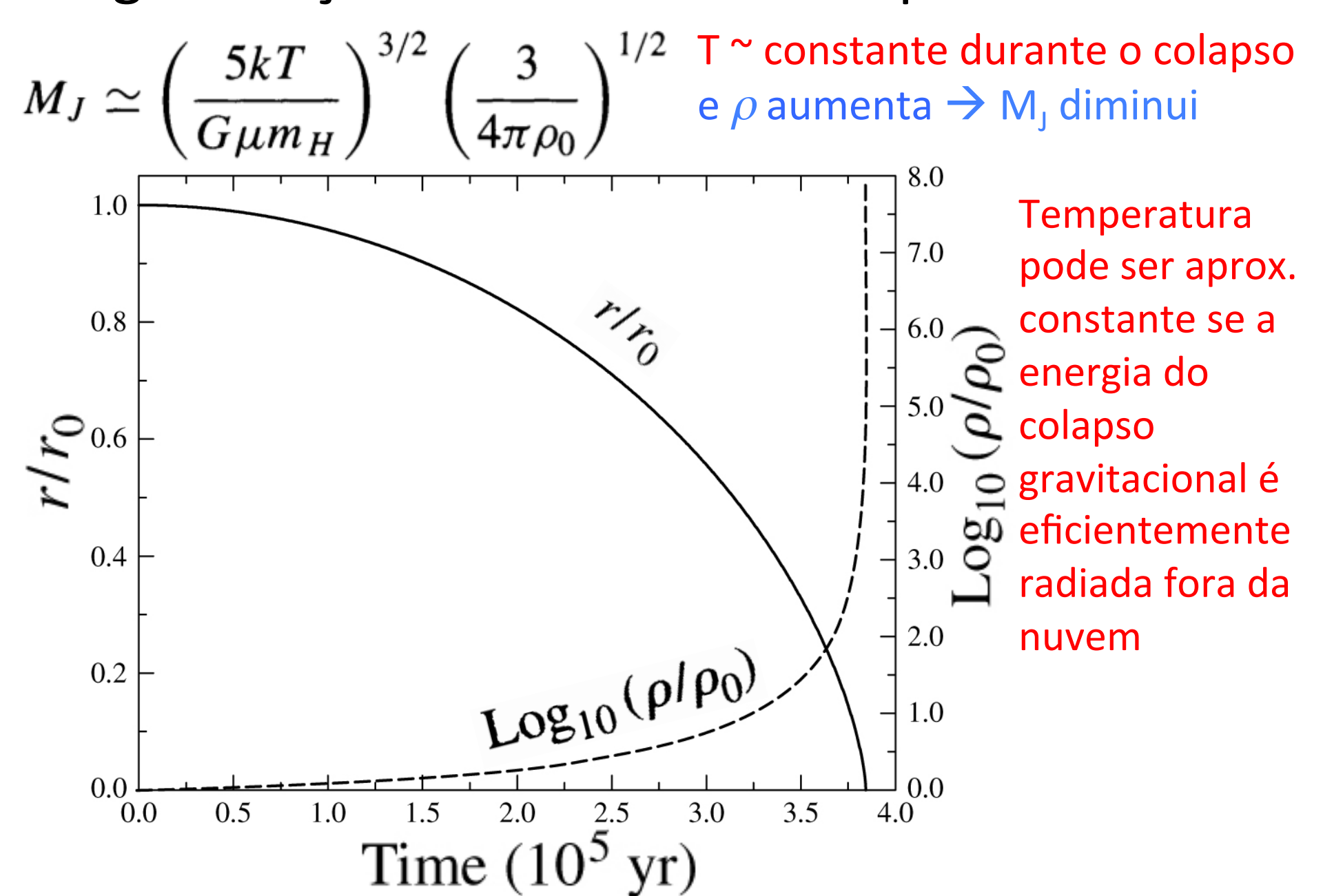
**FIGURE 12.8** The homologous collapse of a molecular cloud, as discussed in Example 12.2.2.  $r/r_0$  is shown as the solid line and  $\log_{10}(\rho/\rho_0)$  is shown as the dashed line. The initial density of the cloud was  $\rho_0 = 3 \times 10^{-17}$  kg m<sup>-3</sup> and the free-fall time is  $3.8 \times 10^5$  yr.



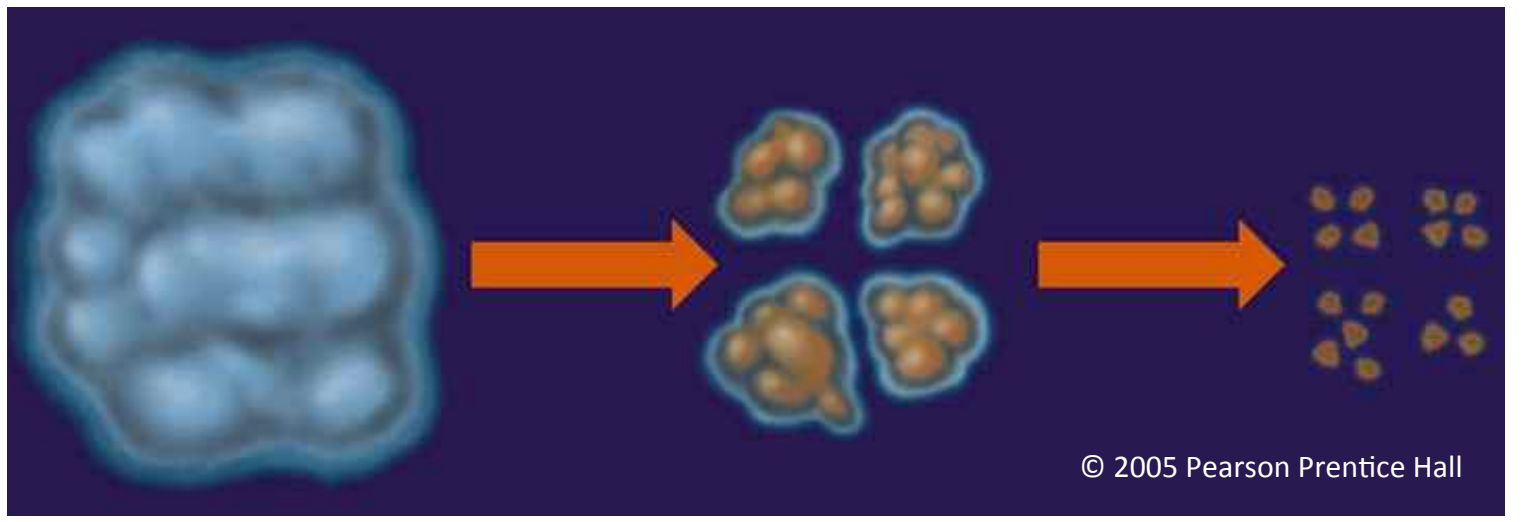


A nuvem não é homogenea e certas regiões podem alcançar ρ alta o suficiente para atingir o limite de Jeans e colapsar independentemente

#### Fragmentação de nuvem em colapso isotérmico



Como parar a fragmentação da nuvem?



Colapso
isotérmico:
energia é
radiada fora da
nuvem →
temos
fragmentação
devido a
aumento em ρ

$$M_J \simeq \left(\frac{5kT}{G\mu m_H}\right)^{3/2} \left(\frac{3}{4\pi\rho_0}\right)^{1/2}$$

Se parte da energia do colapso gravitacional não é radiada fora da nuvem  $\rightarrow$  T aumenta  $\rightarrow$  fim da fragmentação. Ou seja, existe uma massa de Jeans mínima

$$M_{J_{\min}} = 0.03 \left( \frac{T^{1/4}}{e^{1/2} \mu^{9/4}} \right) \, \mathrm{M}_{\odot}$$

#### Massa de Jeans mínima

$$M_{J_{\min}} = 0.03 \left( \frac{T^{1/4}}{e^{1/2} \mu^{9/4}} \right) \, \mathrm{M}_{\odot}$$
 e: fator de eficiência da radiação,  $0 < \mathrm{e} < 1$ .

Caso isotérmico: e → 0

where T is expressed in kelvins. If we take  $\mu \sim 1$ ,  $e \sim 0.1$ , and  $T \sim 1000$  K at the time when adiabatic effects may start to become significant,  $M_J \sim 0.5 \,\mathrm{M}_\odot$ ; fragmentation ceases when the segments of the original cloud begin to reach the range of solar mass objects. The estimate is relatively insensitive to other reasonable choices for T, e, and  $\mu$ . For instance, if  $e \sim 1$  then  $M_J \sim 0.2 \text{ M}_{\odot}$ .

$$M_{Jmin} \sim 0.2 - 0.5 M_{Sol}$$

Cálculos mais detalhados: M<sub>Imin</sub> ~ 0.01 M<sub>Sol</sub>

# Efeito do campo magnético

Medidas de campo magnético em nuvens moleculares: 1- 100 nT.

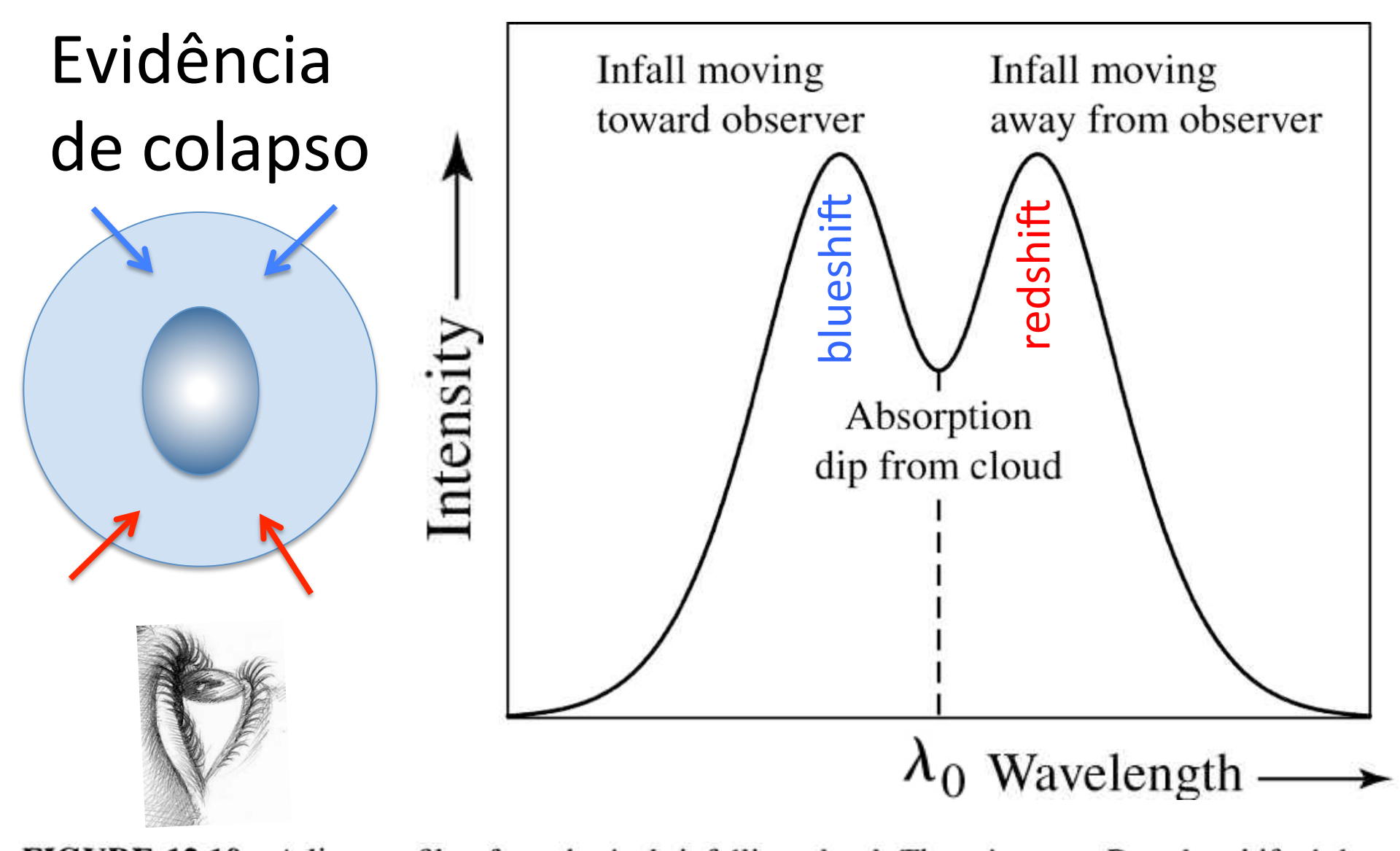
Massa crítica para colapso da nuvem de raio *R* na presença de campo magnético *B*:

$$M_B \simeq 70 \text{ M}_{\odot} \left(\frac{B}{1 \text{ nT}}\right) \left(\frac{R}{1 \text{ pc}}\right)^2$$

**Example 12.2.3.** For the dense core considered in Examples 12.2.1 and 12.2.2, if the dense core has a magnetic field of 100 nT threading through it, and if it has a radius of 0.1 pc, the magnetic critical mass would be  $M_B \simeq 70 \text{ M}_{\odot}$ , implying that a dense core of mass 10 M<sub> $\odot$ </sub> would be stable against collapse. However, if B = 1 nT, then  $M_B \simeq 0.7 \text{ M}_{\odot}$  and collapse would occur.

Para condições do *dense* core com raio de 0,1pc (exemplos 12.2.1 e 12.2.2):

$$M_B \sim 70 M_{Sol}$$
 para  $B = 100 nT$   
 $M_B \sim 0.7 M_{Sol}$  para  $B = 1nT$ 



**FIGURE 12.10** A line profile of a spherical, infalling cloud. The wings are Doppler shifted due to infalling material. The central absorption is produced by intervening material far from the central collapse. The redshifted wing arises from material in front of the central region moving away from the observer, and the blueshifted wing is due to material in the back of the cloud moving toward the observer.

#### Provinha #11

- 1) Se o comprimento de onda da luz é aproximadamente igual ao tamanho dos grão de poeira, e se 30% da luz azul (400 nm) foi espalhada, qual porcentagem da luz vermelha (800 nm) foi espalhada pelos grãos de poeira?
- 2) Qual a motivo para a fragmentação da nuvem? Ou seja explicar por que não é formada apenas 1 estrela no colapso de uma nuvem molecular